



Monitorage de l'anesthésie et de l'analgésie

Dr Emmanuel Boselli
Anesthésie-réanimation
Lyon

Liens d'intérêt

- Baxter
- B-Braun
- Gamida
- MDoloris Medical Systems
- Nordic Pharma
- Schering-Plough
- Sonosite
- Vygon

Monitorage

- Surveillance médicale en continu ou à intervalles rapprochés, effectuée par **mesure** de paramètres ou par enregistrement de phénomènes divers (contractions utérines, battements cardiaques, etc.)
- Dans l'industrie, fonction remplie par un **moniteur**

Relâchement
musculaire
(curares)

Curamètres
(Pr B. Plaud)

Anesthésie générale

BIS
Entropie
Narcotrend

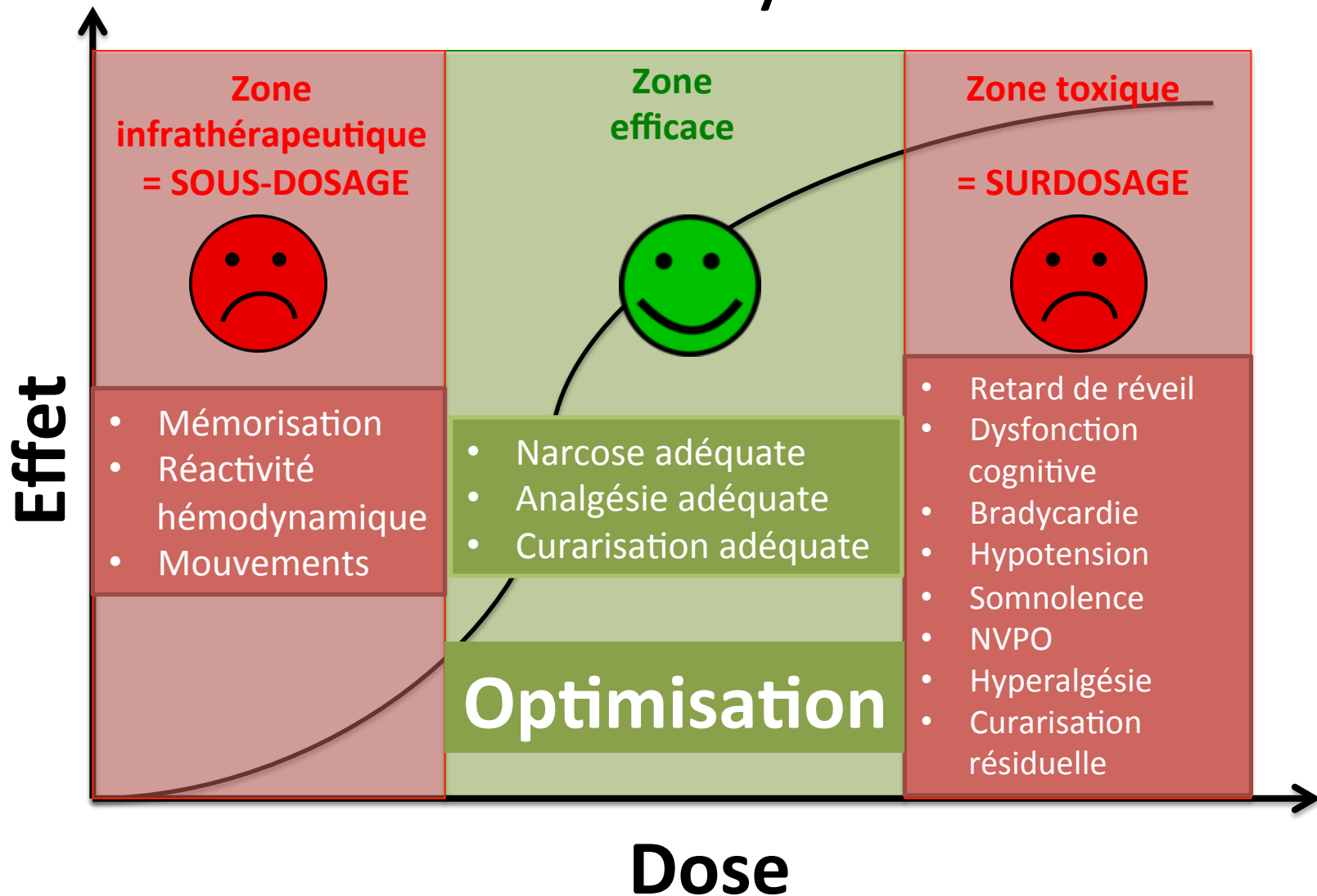
Narcose
(hypnotiques)

ANI
Pupillométrie
SPI
Conductance
CARDEAN

Analgésie
(opiacés)

Pourquoi monitorer ?

Pharmacodynamie





Surveillance de la profondeur de l'anesthésie générale

Monitoring depth of general anesthesia

V. Billard (Médecin spécialiste des CLCC)^{a,*},

F. Servin (Praticien hospitalier)^b,

S. Molliex (Professeur des Universités, praticien hospitalier)^c

^a Institut Gustave Roussy, 39, rue Camille-Desmoulins, 94805 Villejuif, France

^b CHU Bichat Claude Bernard, 46 rue Henri-Huchard, 75877 Paris cedex 18, France

^c CHRU de Saint-Étienne, 3, rue Claude-Lebois, 42055 Saint-Étienne cedex, France

BJA

British Journal of Anaesthesia

ABOUT THIS JOURNAL

CONTACT THIS JOURNAL

SUBSCRIPTIONS

CUR

[Oxford Journals](#) > [Medicine & Health](#) > [BJA](#) > Volume 115 Issue suppl 1

BJA Special Issue on Memory and Awareness in Anaesthesia

Volume 115 suppl 1 July 2015

Monitorage de « l'anesthésie »

Analyse automatique de l'EEG : BIS

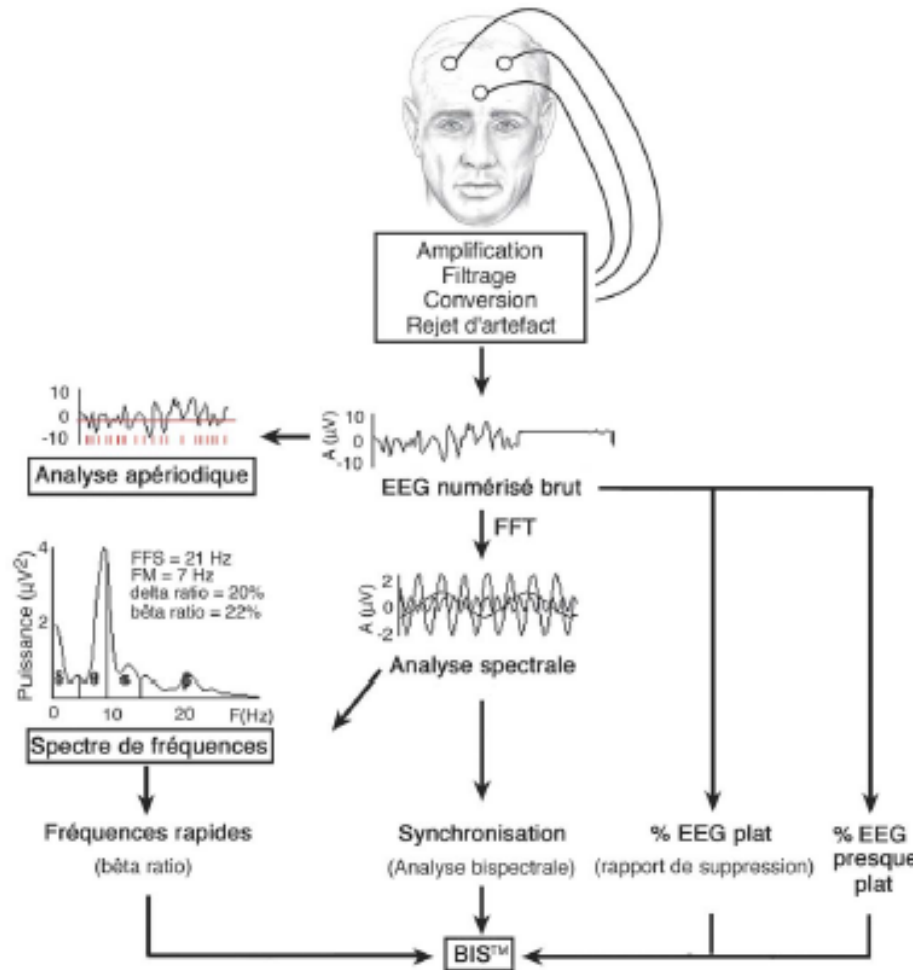
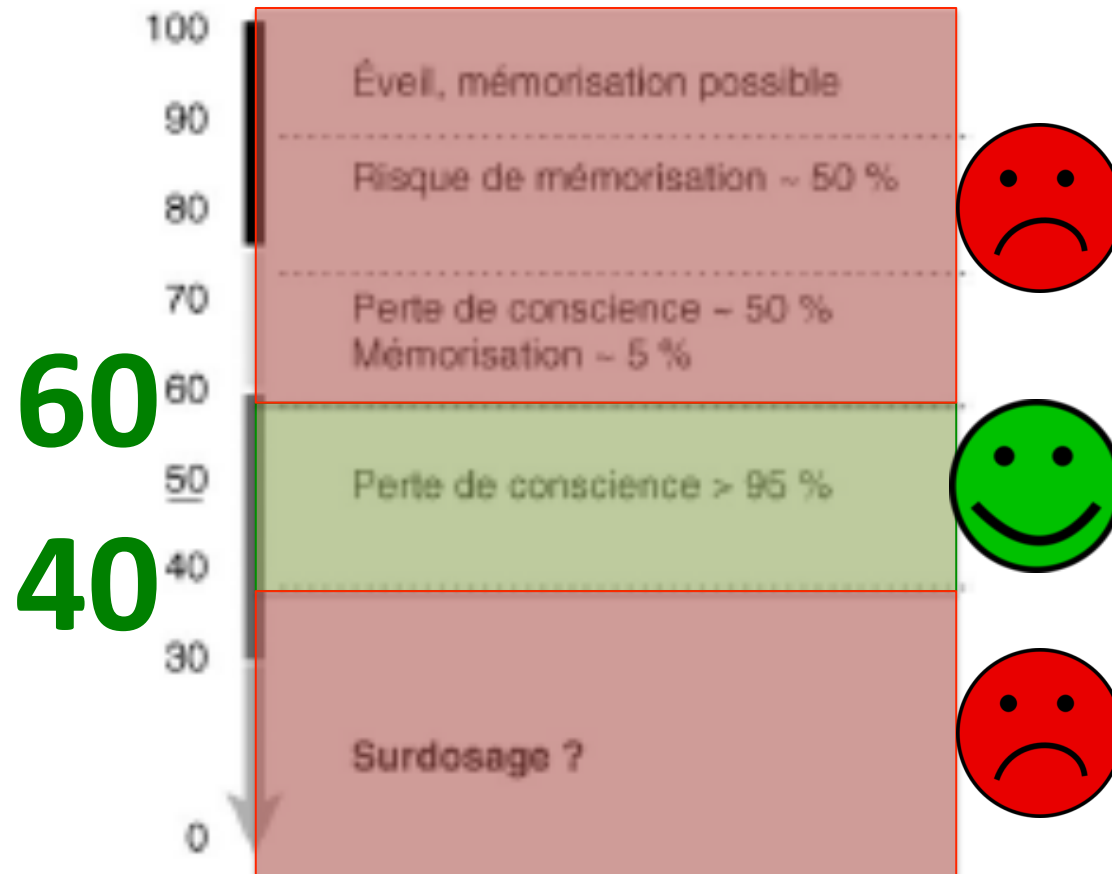


Figure 6 Principes d'analyse de l'EEG spontané.

« Monitorage de la narcose »



Bispectral index for improving anaesthetic delivery and postoperative recovery (Review)

Punjasawadwong Y, Phongchiewboon A, Bunchungmongkol N

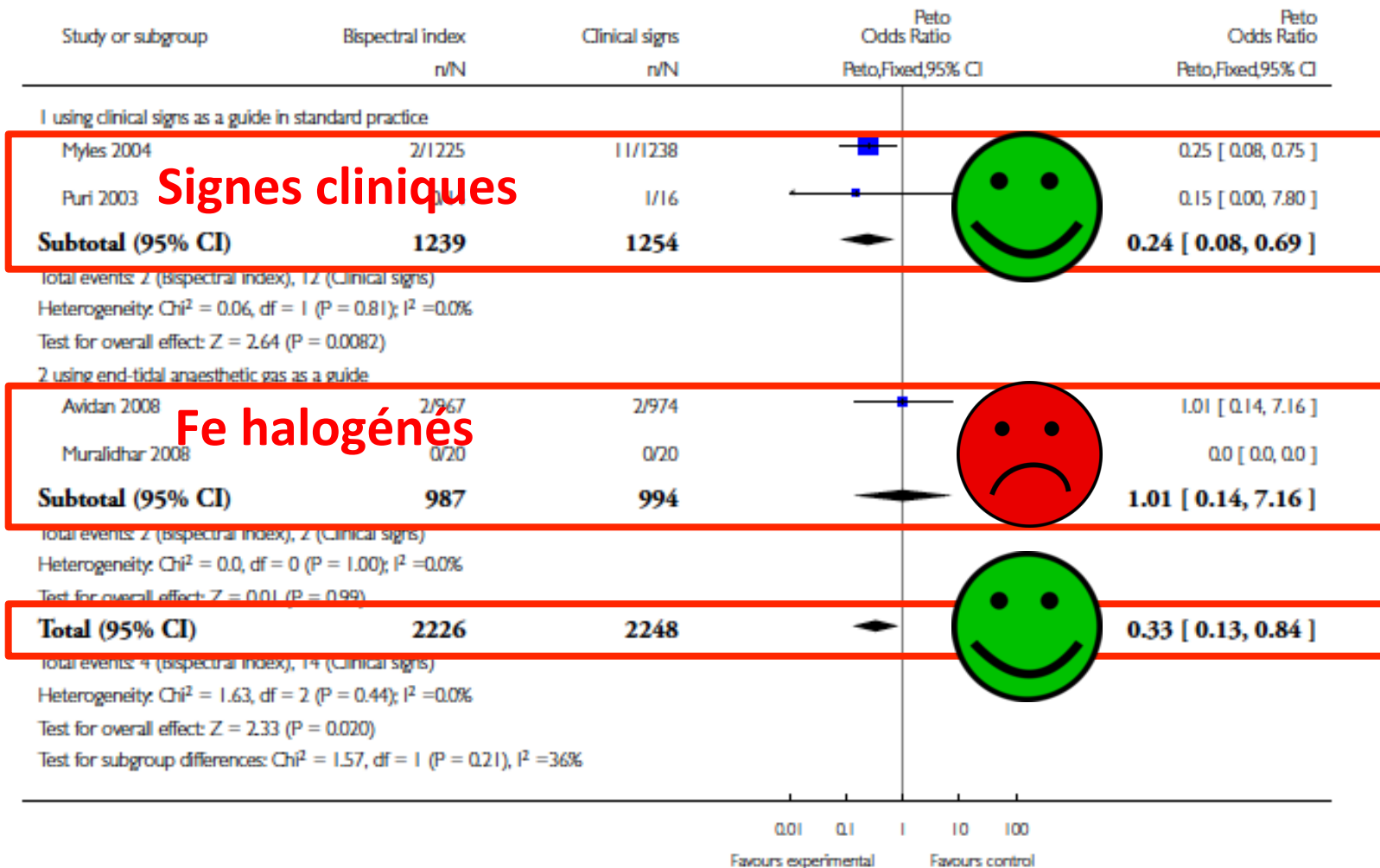


**THE COCHRANE
COLLABORATION®**

Méta-analyse

- 31 ERC
- Comparaison BIS / pratique standard
- Objectifs :
 - ➔ mémorisation ?
 - ➔ consommation agents anesthésiques ?
 - ➔ temps de récupération ?
 - ➔ coût ?

Risque mémorisation



Prevention of Intraoperative Awareness in a High-Risk Surgical Population

Michael S. Avidan, M.B., B.Ch., Eric Jacobsohn, M.B., Ch.B., David Glick, M.D., M.B.A., Beth A. Burnside, B.A., Lini Zhang, M.D., Alex Villafranca, M.S., Leah Karl, B.A., Saima Kamal, M.D., Brian Torres, B.S.N., Michael O'Connor, M.D., Alex S. Evers, M.D., Stephen Gradwohl, B.S., Nan Lin, Ph.D., Ben J. Palanca, M.D., Ph.D., and George A. Mashour, M.D., Ph.D., for the BAG-RECALL Research Group.*

BACKGROUND

Unintended intraoperative awareness, which occurs when general anesthesia is not achieved or maintained, affects up to 1% of patients at high risk for this complication. We tested the hypothesis that a protocol incorporating the electroencephalogram-derived bispectral index (BIS) is superior to a protocol incorporating standard monitoring of end-tidal anesthetic-agent concentration (ETAC) for the prevention of awareness.

METHODS

We conducted a prospective, randomized, evaluator-blinded trial at three medical centers. We randomly assigned 6041 patients at high risk for awareness to BIS-guided anesthesia (with an audible alert if the BIS value was <40 or >60, on a scale of 0 to 100, with 0 indicating the suppression of detectable brain electrical activity and 100 indicating the awake state) or ETAC-guided anesthesia (with an audible alert if the ETAC was <0.7 or >1.3 minimum alveolar concentration). In addition to audible alerts, the protocols included structured education and checklists. Superiority of the BIS protocol was assessed with the use of a one-sided Fisher's exact test.

RESULTS

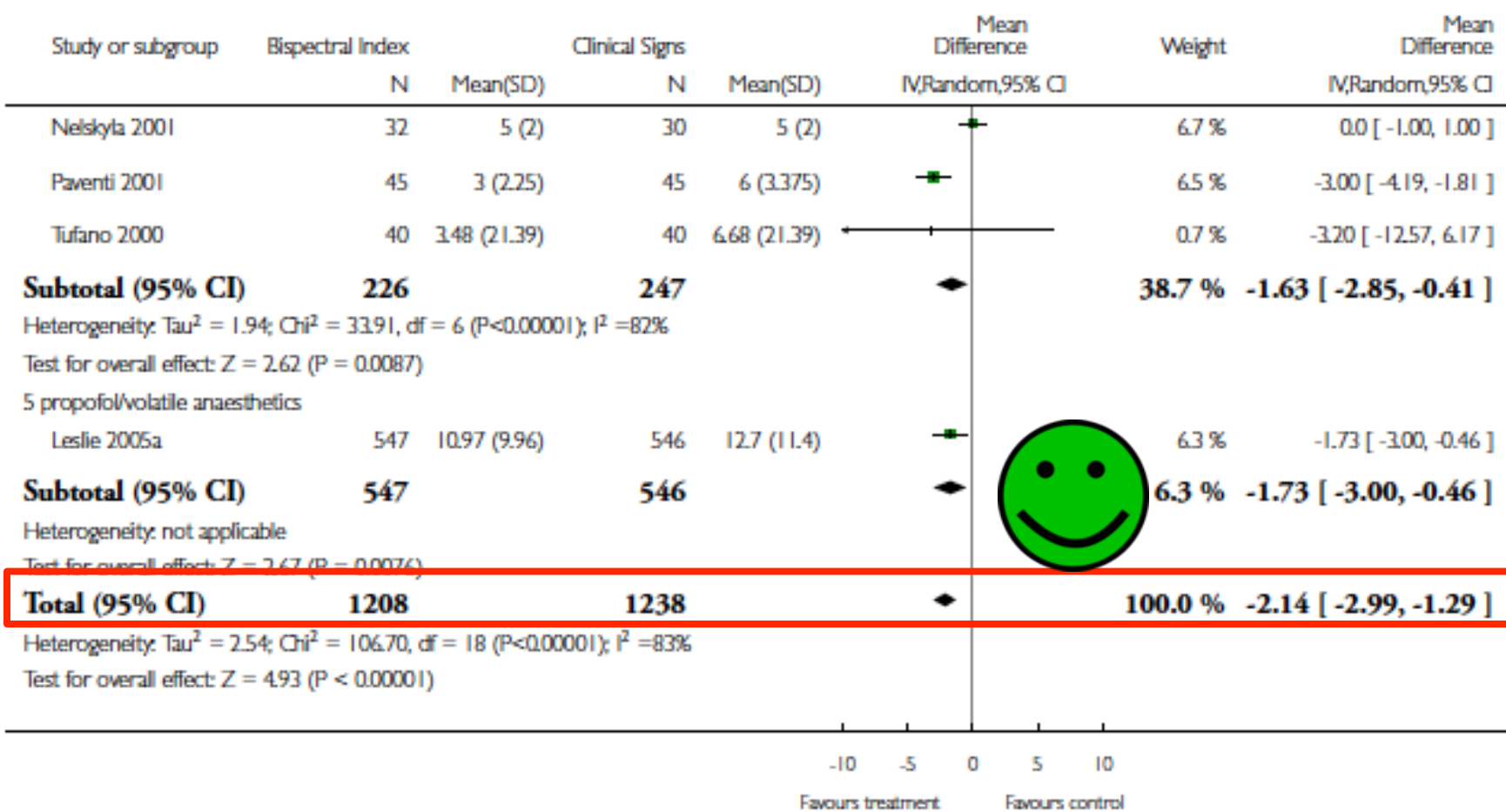
A total of 7 of 2861 patients (0.24%) in the BIS group, as compared with 2 of 2852 (0.07%) in the ETAC group, who were interviewed postoperatively had definite intraoperative awareness (a difference of 0.17 percentage points; 95% confidence interval [CI], -0.03 to 0.38; $P=0.98$). Thus, the superiority of the BIS protocol was not demonstrated. A total of 19 cases of definite or possible intraoperative awareness (0.66%) occurred in the BIS group, as compared with 8 (0.28%) in the ETAC group (a difference of 0.38 percentage points; 95% CI, 0.03 to 0.74; $P=0.99$), with the superiority of the BIS protocol again not demonstrated. There was no difference between the groups with respect to the amount of anesthesia administered or the rate of major postoperative adverse outcomes.

CONCLUSIONS

The superiority of the BIS protocol was not established; contrary to expectations, fewer patients in the ETAC group than in the BIS group experienced awareness. (Funded by the Foundation for Anesthesia Education and Research and others; BAG-RECALL ClinicalTrials.gov number, NCT00682825.)

Ouverture des yeux (min)

(... Continued)



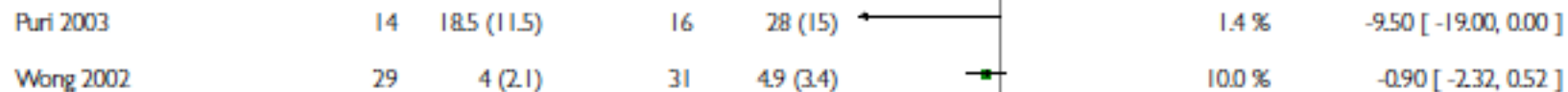
Réponse verbale (min)

Subtotal (95% CI) **65** **65** **23.2 %** **-3.38 [-4.68, -2.07]**

Heterogeneity: $\tau^2 = 0.0$; $\chi^2 = 0.96$, df = 2 ($P = 0.62$); $I^2 = 0.0\%$

Test for overall effect: $Z = 5.08$ ($P < 0.00001$)

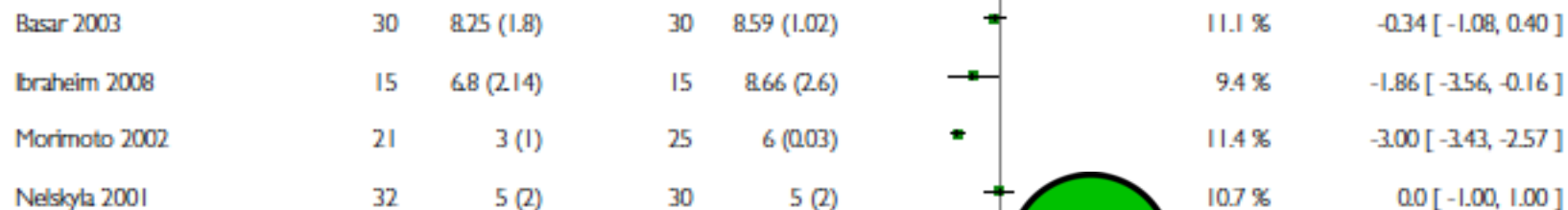
3 isoflurane



Heterogeneity: $\tau^2 = 24.96$; $\chi^2 = 3.08$, df = 1 ($P = 0.08$); $I^2 = 68\%$

Test for overall effect: $Z = 0.95$ ($P = 0.34$)

4 sevoflurane



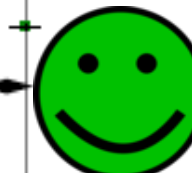
Heterogeneity: $\tau^2 = 2.94$; $\chi^2 = 55.75$, df = 3 ($P < 0.00001$); $I^2 = 95\%$

Test for overall effect: $Z = 1.45$ ($P = 0.15$)

Total (95% CI) **381** **396** **100.0 %** **-2.73 [-3.92, -1.54]**

Heterogeneity: $\tau^2 = 3.17$; $\chi^2 = 97.49$, df = 11 ($P < 0.00001$); $I^2 = 89\%$

Test for overall effect: $Z = 4.50$ ($P < 0.00001$)

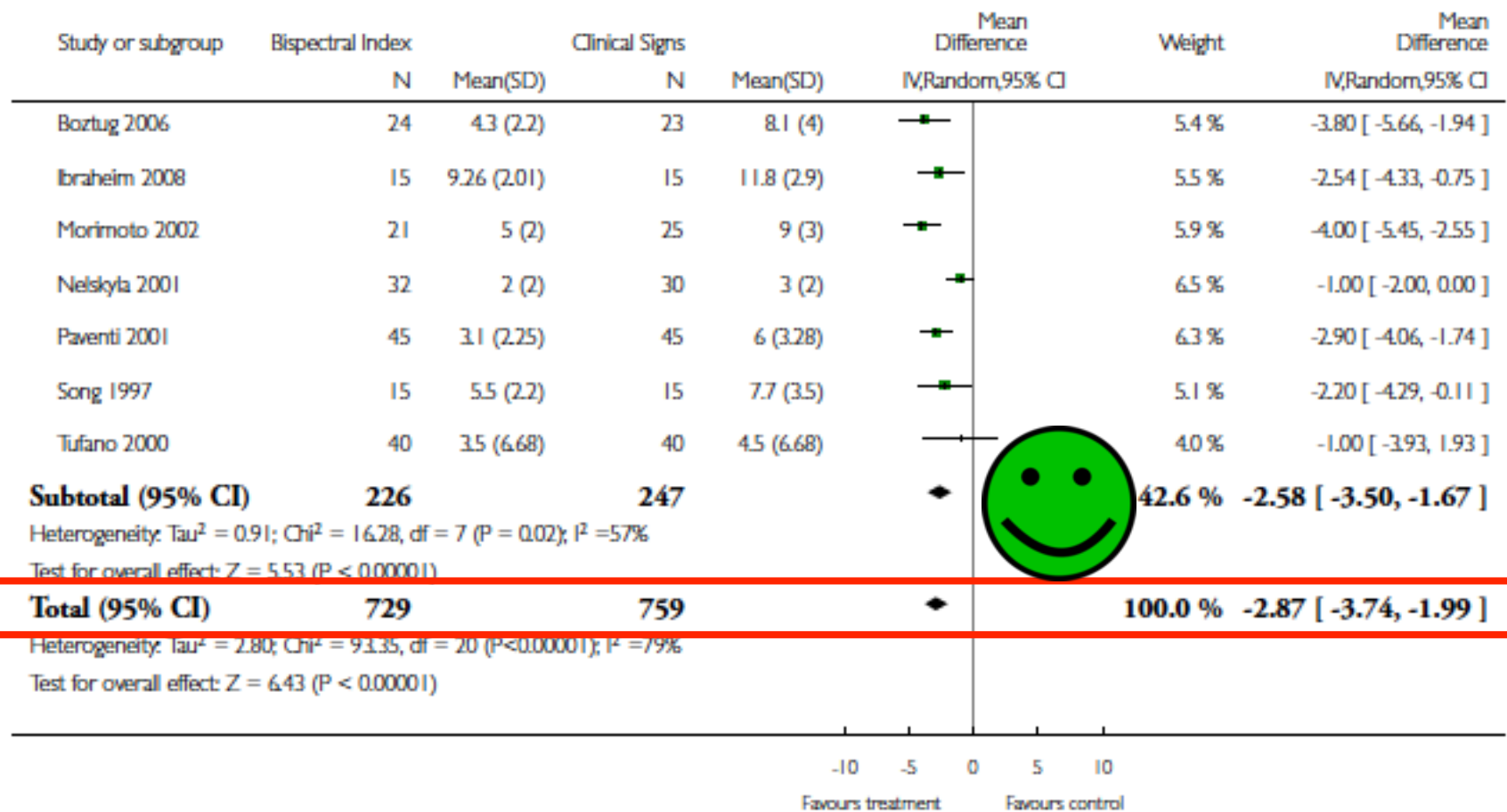


Réponse verbale (min)

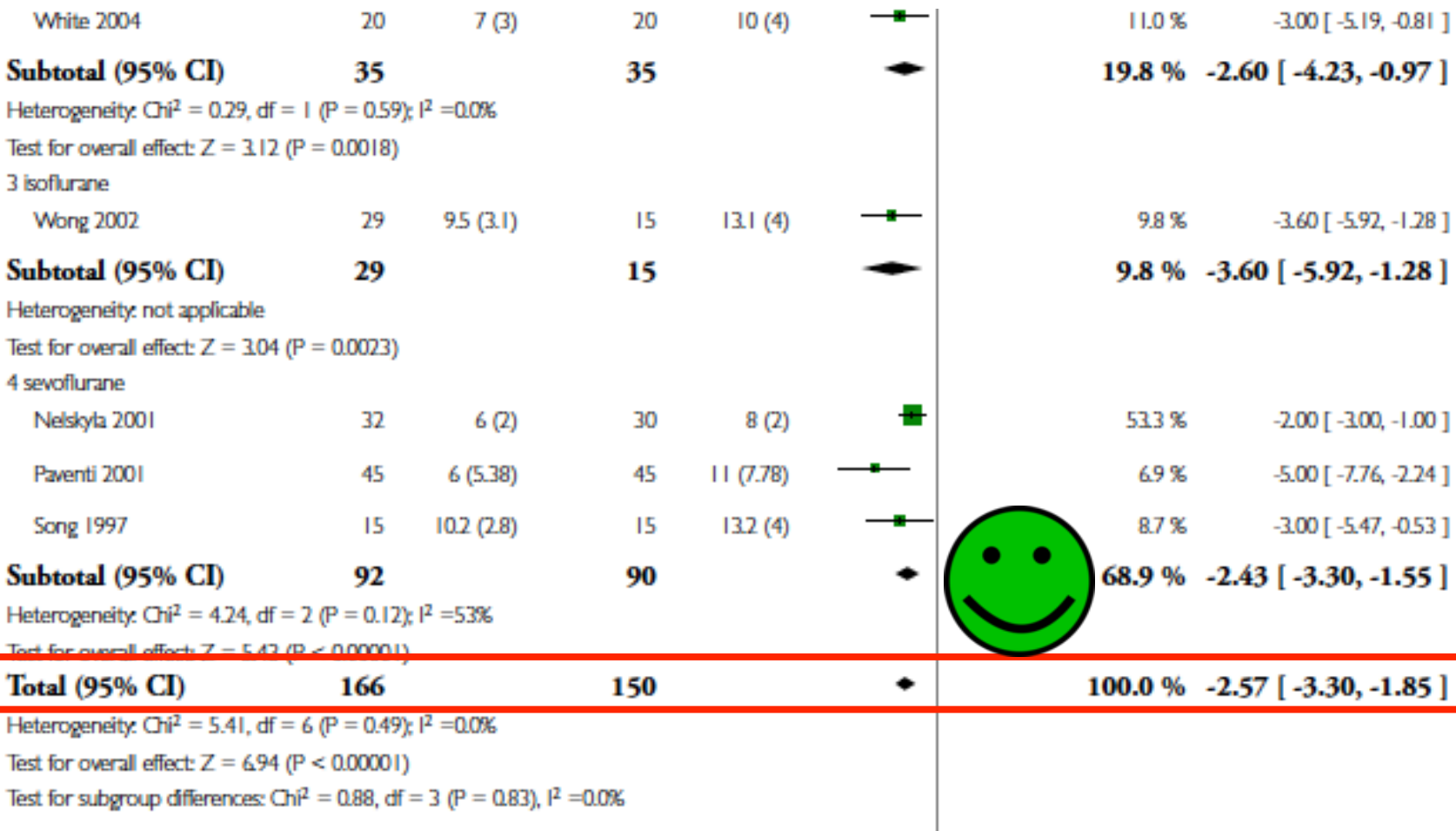
Critère	DM (min) [IC 95 %]
Tous agents confondus	-2,73 [3,92 ; -1,54]
Propofol	 -4,88 [-7,57 ; -2,20]
Desflurane	 -3,38 [-4,68 ; -2,07]
Isoflurane	 -3,86 [-11,87 ; 4,15]
Sévoflurane	 -1,30 [-3,06 ; 0,46]

Délai extubation (min)

(... Continued)

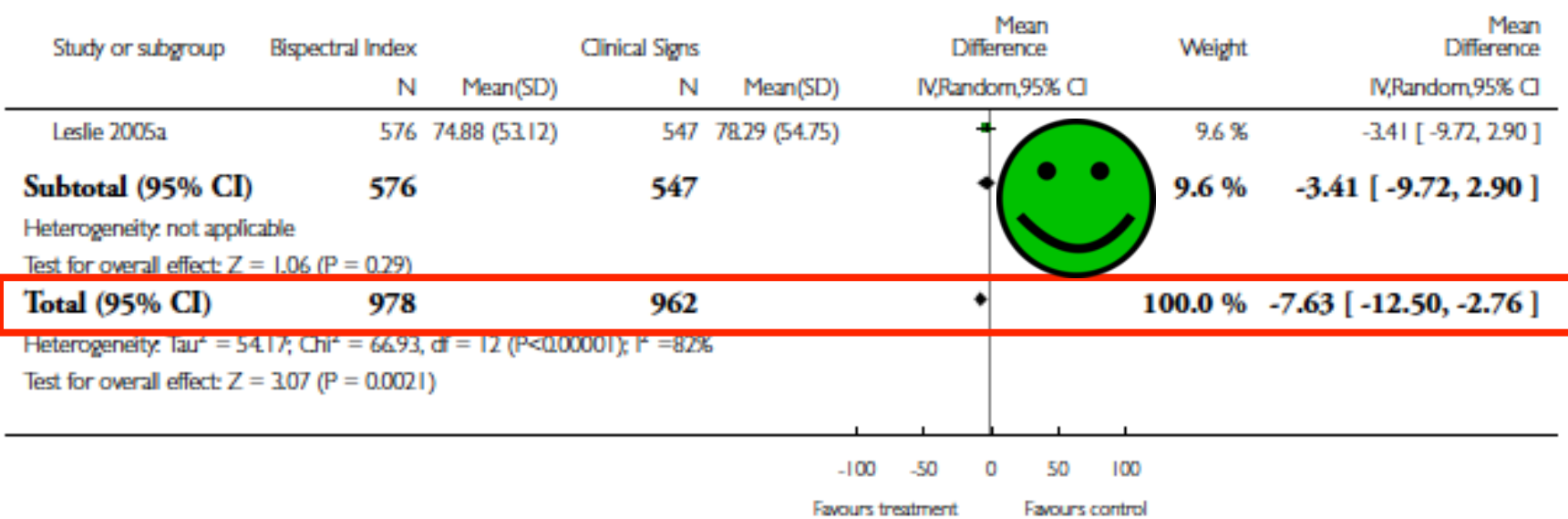


Délai orientation (min)



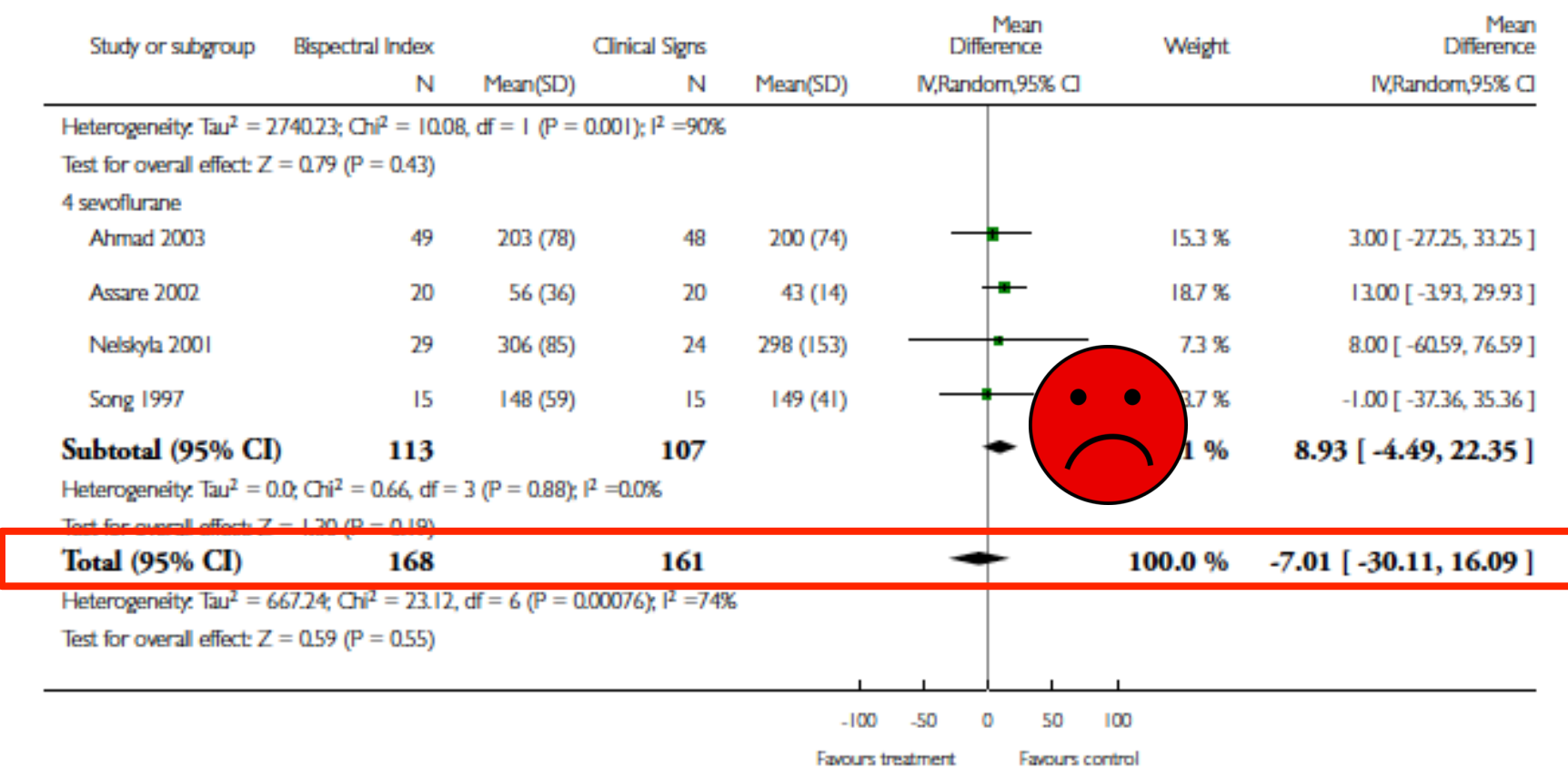
Durée SSPI (min)

(... Continued)

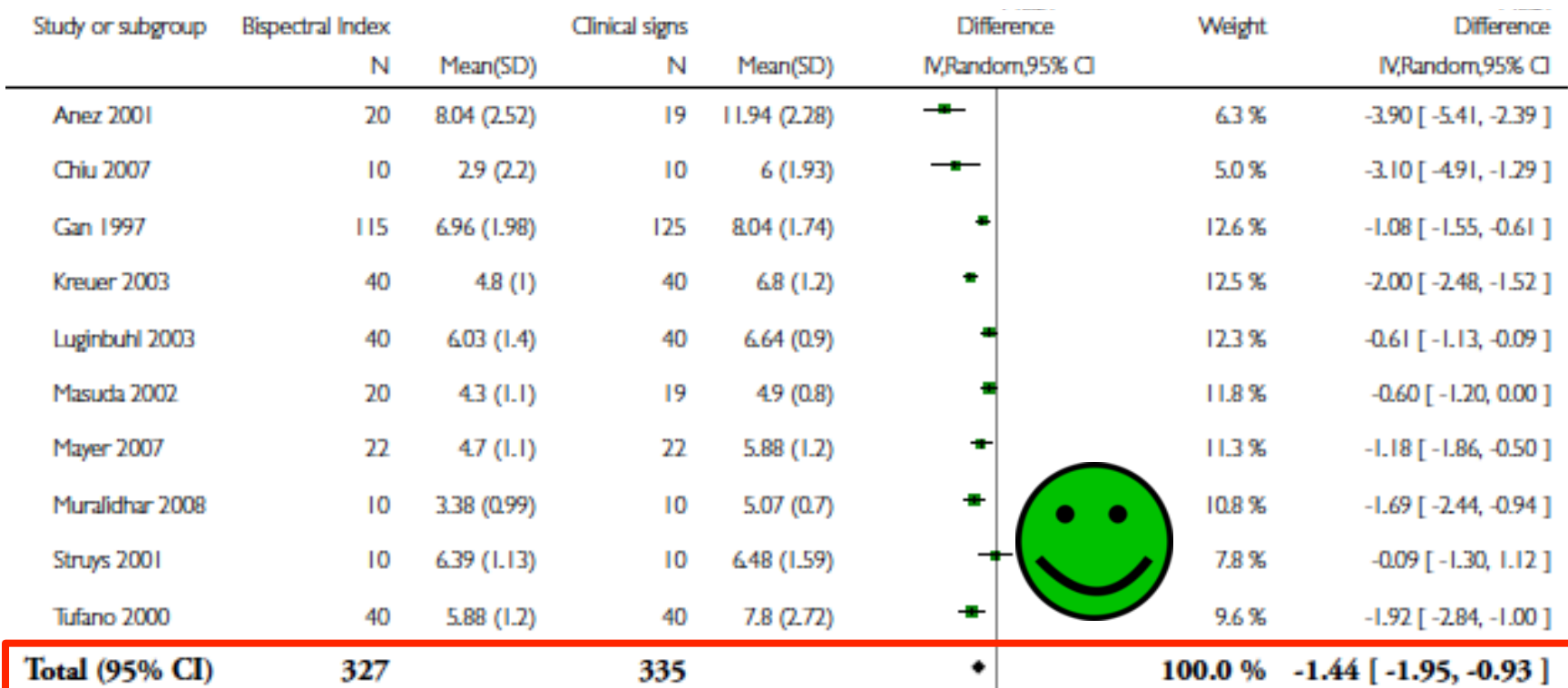


Délai d'aptitude à la rue (min)

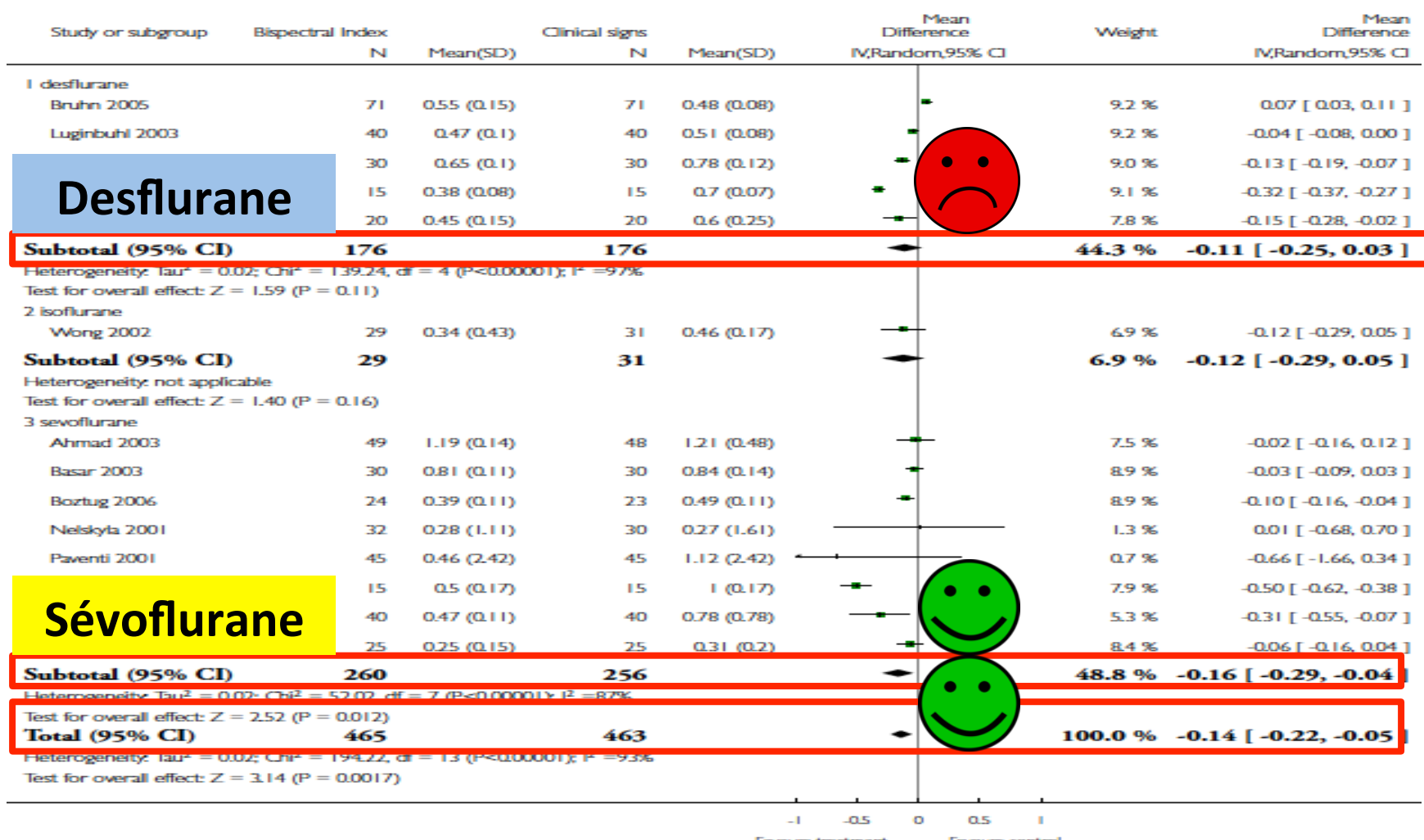
(... Continued)



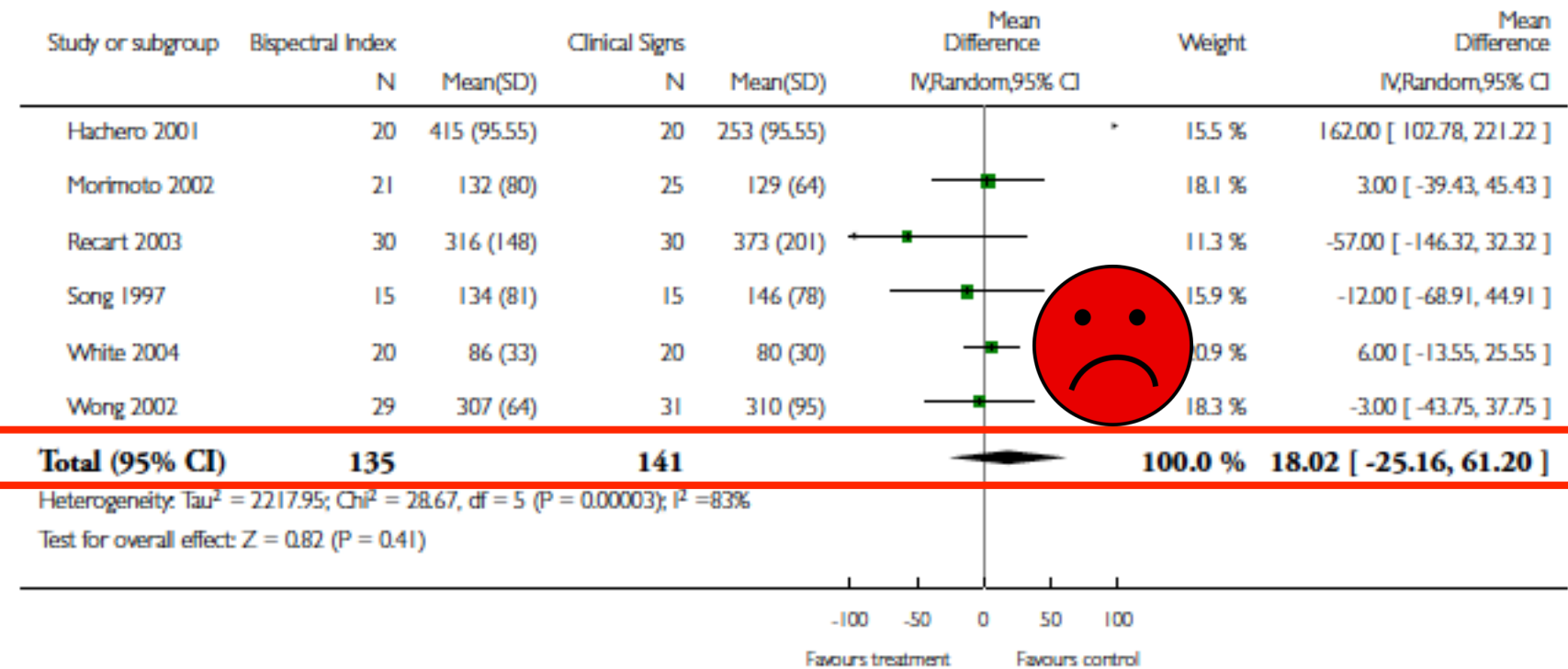
Débit perfusion propofol (mg/kg/h)



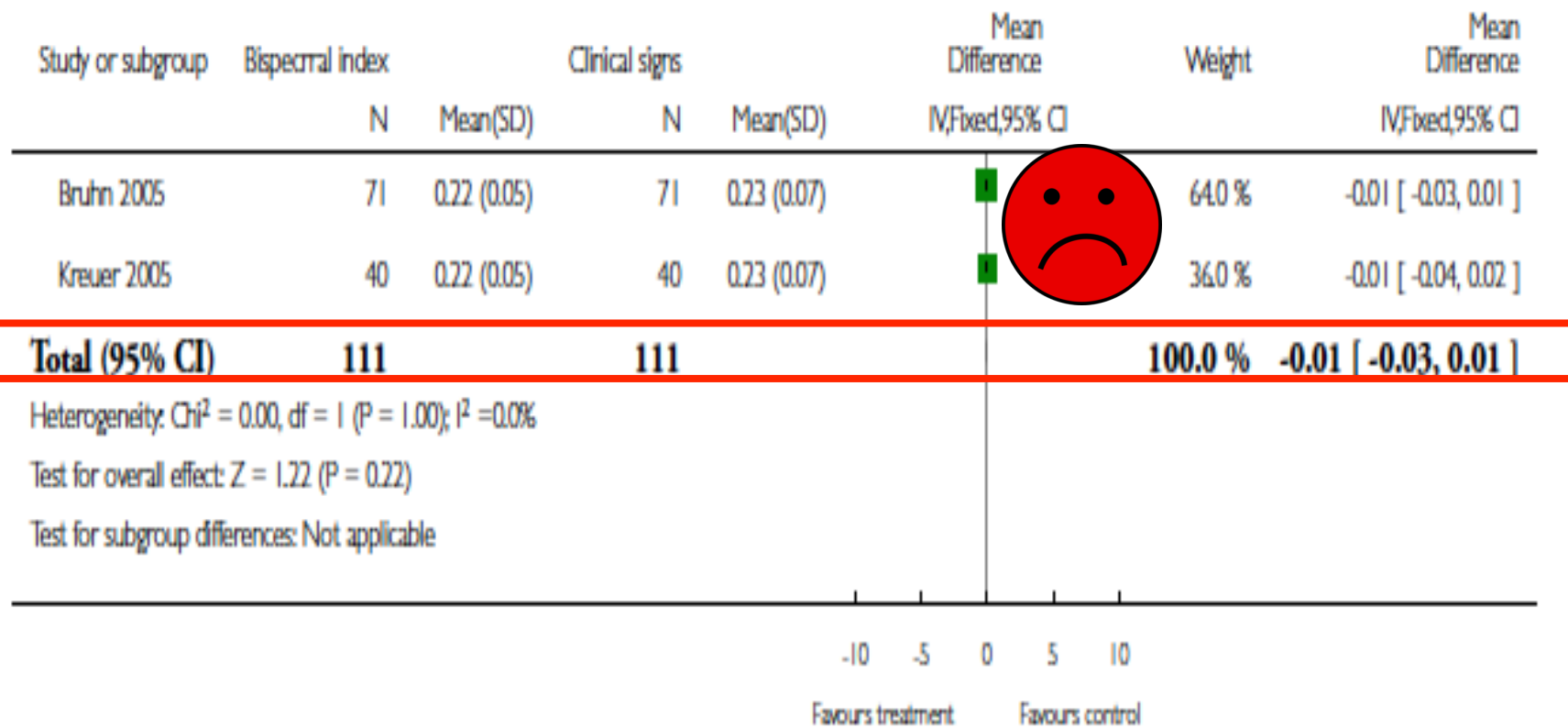
Réduction CAM



Consommation fentanyl (μ g)



Conso. rémifentanil ($\mu\text{g}/\text{kg}/\text{min}$)



Conclusions méta-analyse BIS

- ↘ risque mémorisation (sauf si halogénés)
- ↘ consommation propofol
- ↘ consommation halogénés (sauf desflurane)
- ➔ récupération après anesthésie profonde
- Coût : données insuffisantes

Société Française d'Anesthésie et de Réanimation

Recommandations Formalisées d'Experts 2010 :

Monitorage de l'adéquation/ profondeur de l'anesthésie à partir de l'analyse de l'EEG cortical

Les moniteurs de profondeur d'anesthésie pourraient permettre de détecter un sous- ou un surdosage anesthésique (avis d'experts), notamment lorsque les signes cliniques d'anesthésie sont modifiés par des traitements comme les curares et possiblement par les comorbidités ou une instabilité hémodynamique per-opératoire.

Il n'existe à ce jour pas de données qui permettent d'affirmer avec certitude le bénéfice du monitorage de profondeur de l'anesthésie sur le devenir à long terme ou les complications tardives après une anesthésie générale.

Situations cliniques (liste non exhaustive) où les relations entre doses/concentrations et effets cliniques des médicaments anesthésiques peuvent être modifiées :

- Traitement chronique prolongé par antiépileptiques, morphiniques, BDZ ou toxicomanie à la cocaïne
- Consommation quotidienne d'alcool
- Utilisation pré-opératoire de b-bloquants
- FEVG < 30 % ou IC < 2 l/min/m²
- ATCD de mémorisation explicite
- ATCD d'IOT difficile ou IOT difficile prévue;
- ASA 4 /5
- Rétrécissement aortique sévère
- Maladies respiratoires graves
- Faible tolérance à l'effort
- HTAP

- Chirurgie cardiaque (avec ou sans CEC)
- Césarienne
- Patients polytraumatisés avec hypovolémie
- Insuffisance hépatique sévère
- Traitement par inhibiteurs des protéases
- Hypotension artérielle per-opératoire nécessitant un traitement

Impact sur devenir ? Controverse

Hospital Stay and Mortality Are Increased in Patients Having a “Triple Low” of Low Blood Pressure, Low Bispectral Index, and Low Minimum Alveolar Concentration of Volatile Anesthesia

Daniel I. Sessler, M.D.,* Jeffrey C. Sigr, Ph.D.,† Scott D. Kelley, M.D.,‡ Nassib G. Chamoun, M.S.,§
Paul J. Manberg, Ph.D.,|| Leif Saager, M.D.,# Andrea Kurz, M.D.,** Scott Greenwald, Ph.D.††

Anesthesiology, V 116 • No 6

1195

June 2012

Cumulative Duration of “Triple Low” State of Low Blood Pressure, Low Bispectral Index, and Low Minimum Alveolar Concentration of Volatile Anesthesia Is Not Associated with Increased Mortality

Miklos D. Kertai, M.D., Ph.D., William D. White, M.S., M.P.H., Tong J. Gan, M.D., M.H.S., F.R.C.A.

Anesthesiology, V 121 • No 1

18

July 2014

Et en pratique ?

R215

Monitorage par l'index bispectral : les valeurs cibles sont-elles respectées ?

S. Passot^{1,*}, F. Heritier¹, V. Billard²,
P. Mavoungou³, J.-F. Payen⁴, F. Sztark⁵, S. Molliex¹

Discussion Nos résultats montrent qu'en pratique clinique, seulement 50 % du temps d'anesthésie dans des centres pourtant considérés comme experts, est passé dans la cible théorique de BIS.

Le nombre et la durée des épisodes d'anesthésie trop profonde sont aussi élevés. Cette analyse rétrospective observationnelle ne mentionne pas les données du patient et la conduite de l'anesthésie par le praticien. Il existe probablement une grande hétérogénéité dans l'interprétation des valeurs affichées et des corrections appliquées comme en témoigne la différence entre les centres. Ces résultats incitent à réaliser une étude multicentrique colligeant les données du patient, de l'anesthésie et du BIS pour connaître les facteurs à leur origine, optimiser l'utilisation de ce monitorage et la prise en charge anesthésique des patients.

Avenir : boucles fermées ?

J Clin Monit Comput
DOI 10.1007/s10877-013-9453-6

ORIGINAL RESEARCH

Automated titration of propofol and remifentanil decreases the anesthesiologist's workload during vascular or thoracic surgery: a randomized prospective study

Corinne Dussaussoy · Marine Peres ·
Virginie Jaoul · Ngai Liu · Thierry Chazot ·
Jean Picquet · Marc Fischler · Laurent Beydon

Closed-Loop Coadministration of Propofol and Remifentanil Guided by Bispectral Index: A Randomized Multicenter Study

Ngai Liu, MD, PhD,* Thierry Chazot, MD,* Sophie Hamada, MD,* Alain Landais, MD,†
Nathalie Boichut, MD,† Corinne Dussaussoy, MD,§ Bernard Trillat, MSc,|| Laurent Beydon, MD,§
Emmanuel Samain, MD,† Daniel I. Sessler, MD,¶ and Marc Fischler, MD*

Can J Anesth/J Can Anesth
DOI 10.1007/s12630-013-9986-7



REPORTS OF ORIGINAL INVESTIGATIONS

Automatic administration of propofol and remifentanil guided by the bispectral index during rigid bronchoscopic procedures: a randomized trial

Administration automatique de propofol et de rémifentanil selon l'indice bispectral pendant des interventions avec bronchoscope rigide: une étude randomisée

Ngai Liu, MD, PhD · Olivier Pruszkowski, MD · Jérôme Erwan Leroy, MD ·
Thierry Chazot, MD · Bernard Trillat · Arlette Colchen, MD ·
François Gonin, MD · Marc Fischler, MD

European Journal of Anaesthesiology 2006; 23: 465–469
© 2006 Copyright European Society of Anaesthesiology
doi: 10.1017/S0265021506000196

Original Article

Feasibility of closed-loop titration of propofol guided by the Bispectral Index for general anaesthesia induction: a prospective randomized study

N. Liu*, T. Chazot*, B. Trillat†, R. Pirracchio*, J.-D. Law-Koune*, L. Barvais¶, M. Fischler*

Hôpital Foch, *Departments of Anaesthesiology, †Informatics, Suresnes, France; ¶Hôpital Erasme ULB,
Department of Anaesthesiology, Brussels, Belgium



ELSEVIER
MASSON

Disponible en ligne sur www.sciencedirect.com



Annales Françaises d'Anesthésie et de Réanimation 26 (2007) 850–854

Article spécial

annales
françaises
d'ANESTHÉSIE
RÉANIMATION

<http://france.elsevier.com/direct/ANNFAR/>

Titration automatisée du propofol guidée par l'index bispectral *

Closed-loop titration of propofol guided by the bispectral index

N. Liu^a, T. Chazot^a, B. Trillat^b, G.A. Dumont^c, M. Fischler^{a,*}

^aService d'anesthésie, hôpital Foch, 40, rue Worth, 92151 Suresnes, France

^bService d'informatique, hôpital Foch, 40, rue Worth, 92151 Suresnes, France

^cDepartment of Electrical and Computer Engineering, University of British Columbia, Vancouver, Canada

Société Française d'Anesthésie et de Réanimation

Recommandations Formalisées d'Experts 2010 :

Monitorage de l'adéquation/ profondeur de l'anesthésie à partir de l'analyse de l'EEG cortical

- L'EEG de surface (cortical) explore surtout la composante hypnotique de l'anesthésie ainsi que l'éventuelle réaction d'éveil cortical lors d'une stimulation nociceptive. La performance diagnostique et prédictive de l'EEG de surface analysé seul, n'est pas suffisante pour explorer la complexité de la pharmacologie des médicaments anesthésiques.

Monitorage analgésie

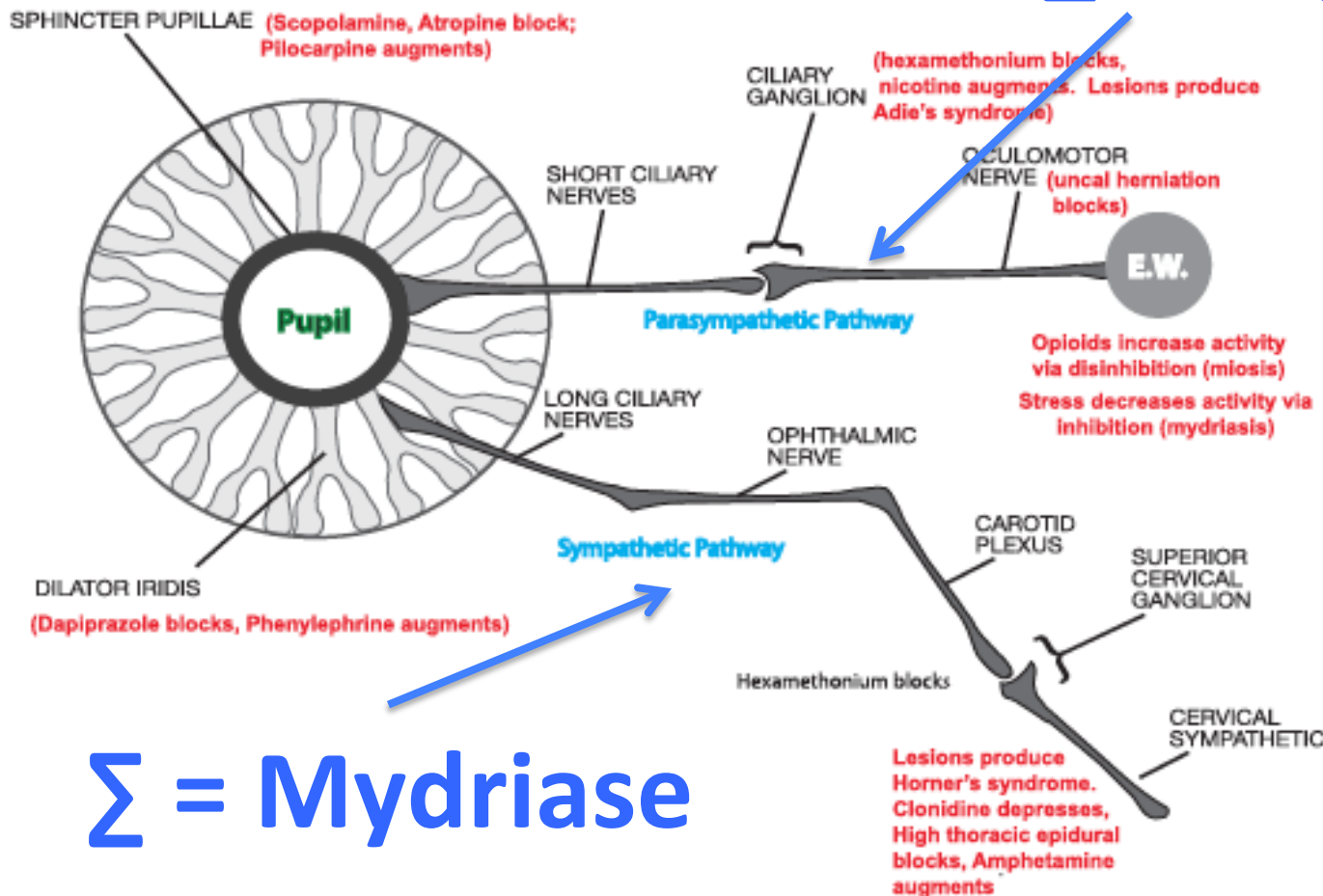
Balance nociception/antinociception

Pupillométrie



Principe pupillométrie

ParaΣ = Myosis



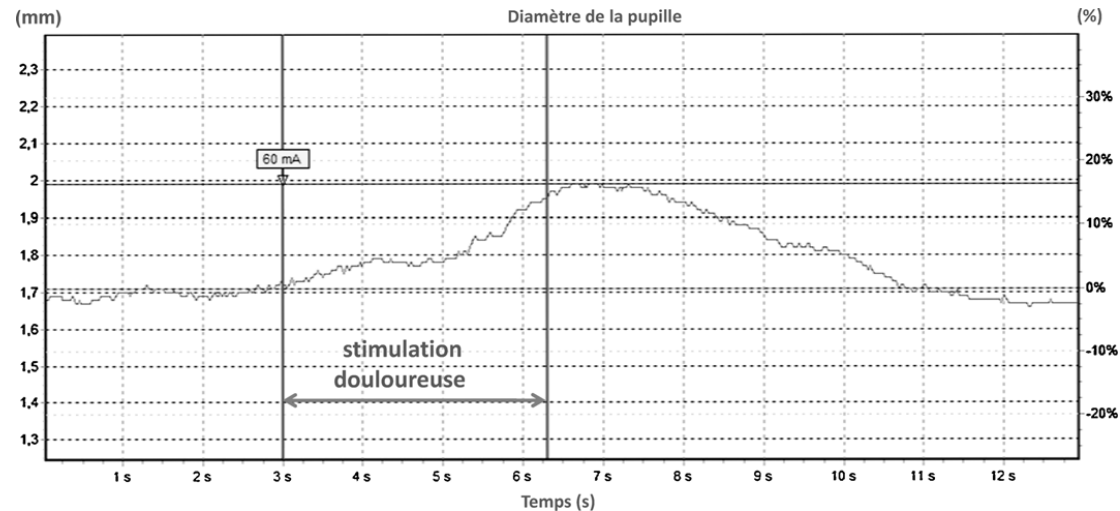
Σ = Mydriase

Limites

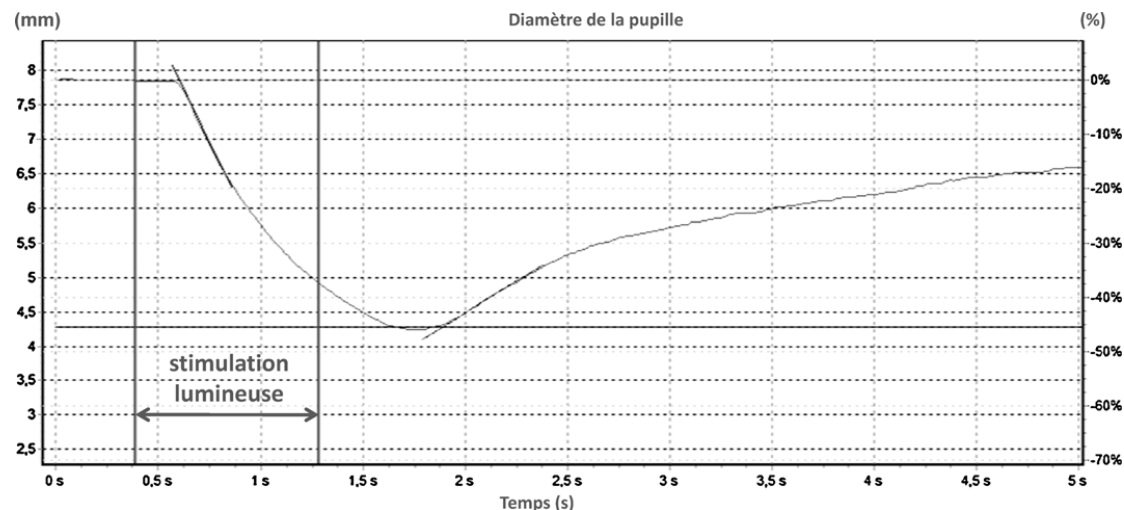
- Altérations SNA :
 - Médicamenteuses
 - Dysautonomie, âge avancé...
- Mesures intermittentes
- Stimulation
- Accès à la tête
- Lésions oculaires

Variations diamètre pupillaire

Réflexe de dilatation pupillaire (RDP)

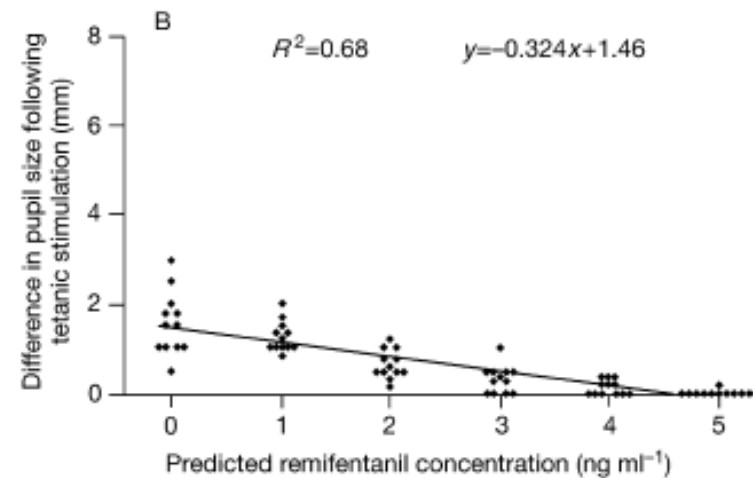
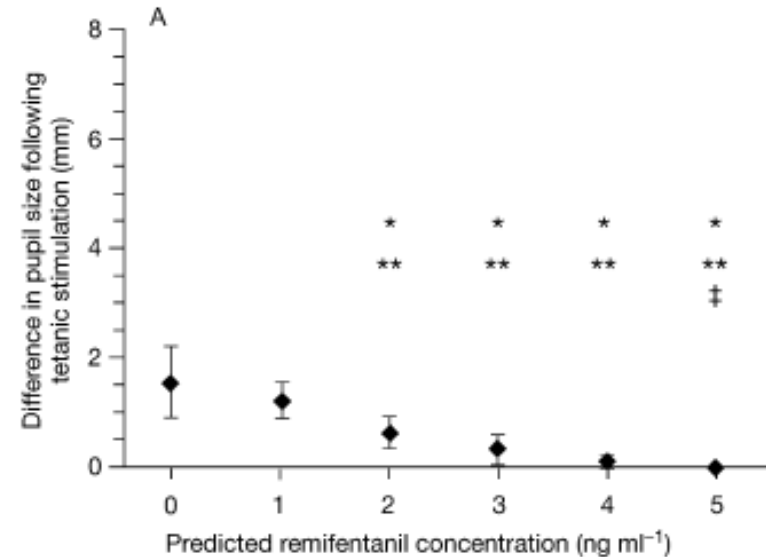


Réflexe photomoteur (RPM)



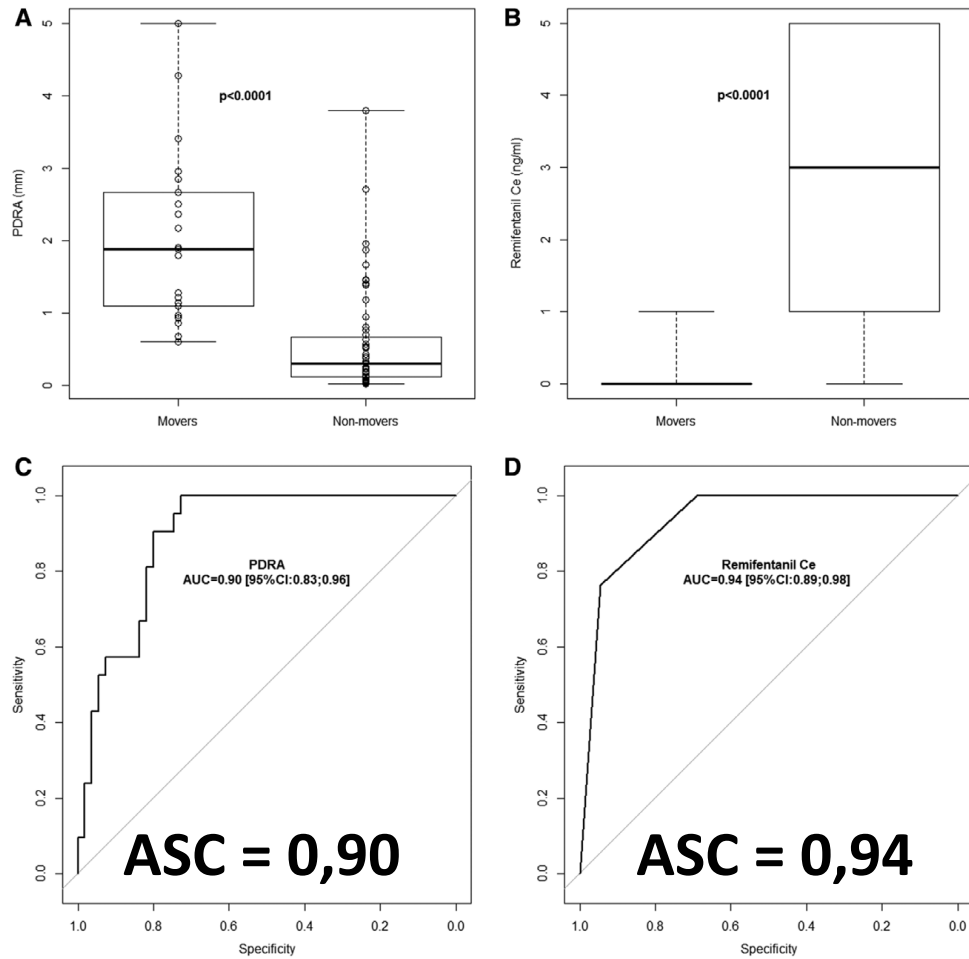
Effet stimulation nociceptive

- 12 patients ASA I-II
- AIVOC :
 - propofol 3 mg/mL
 - rémifentanil C_e croissantes
- Stimulation tétanique ulnaire
 - 100 Hz
 - 60 mA
 - 10 s



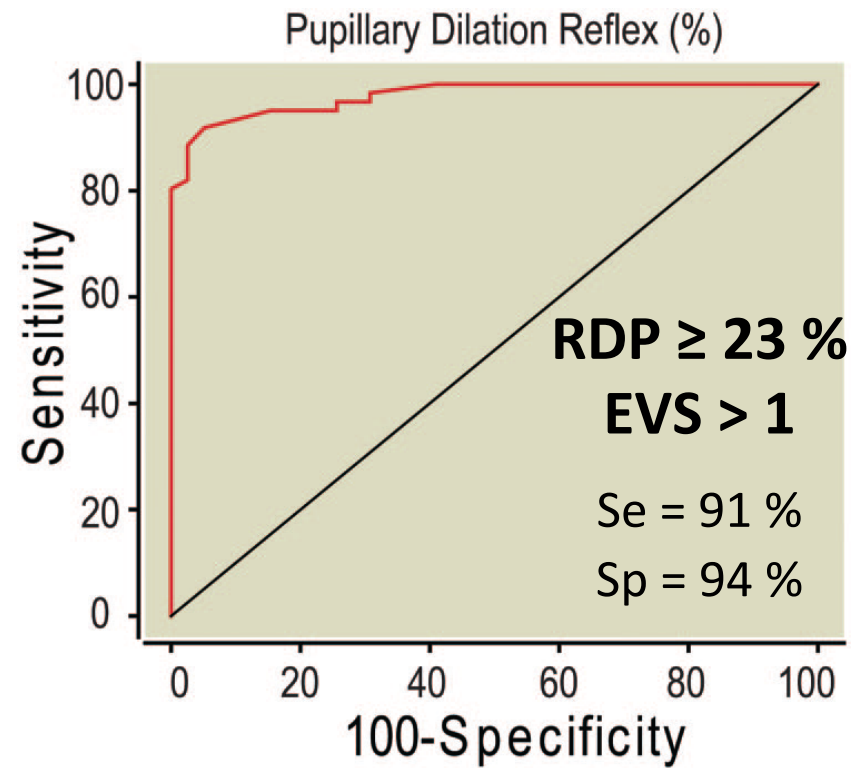
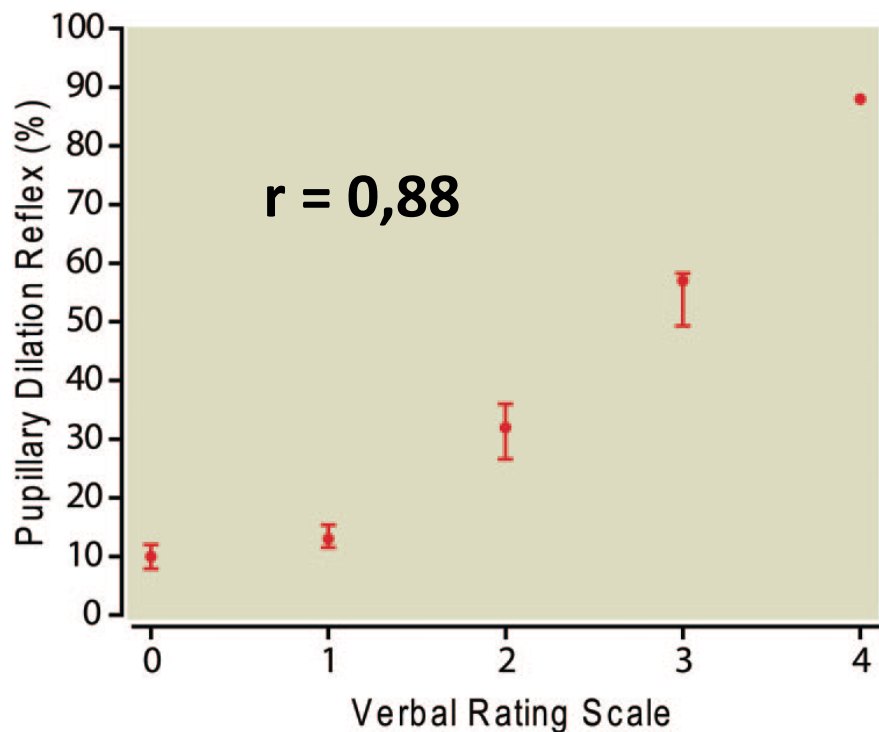
Prédiction mouvement

- 80 patientes (aspiration)
- AIVOC :
 - propofol 4 mg/mL
 - rémi C_e croissantes
- Stimulation tétanique :
 - 100 Hz
 - 60 mA
 - 5 s



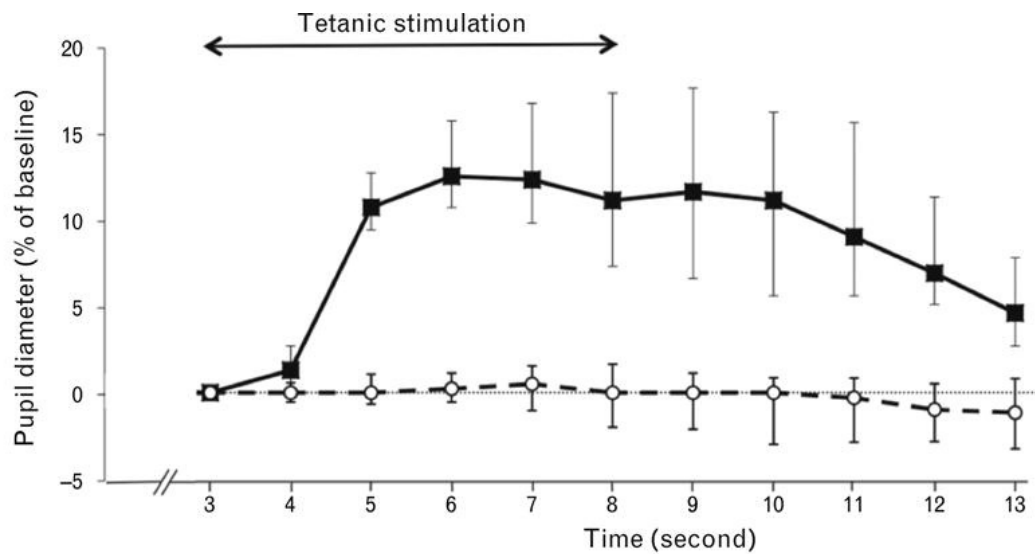
Détection DPO immédiate

100 patients
EVS et RDP en SSPI



Détection efficacité ALR

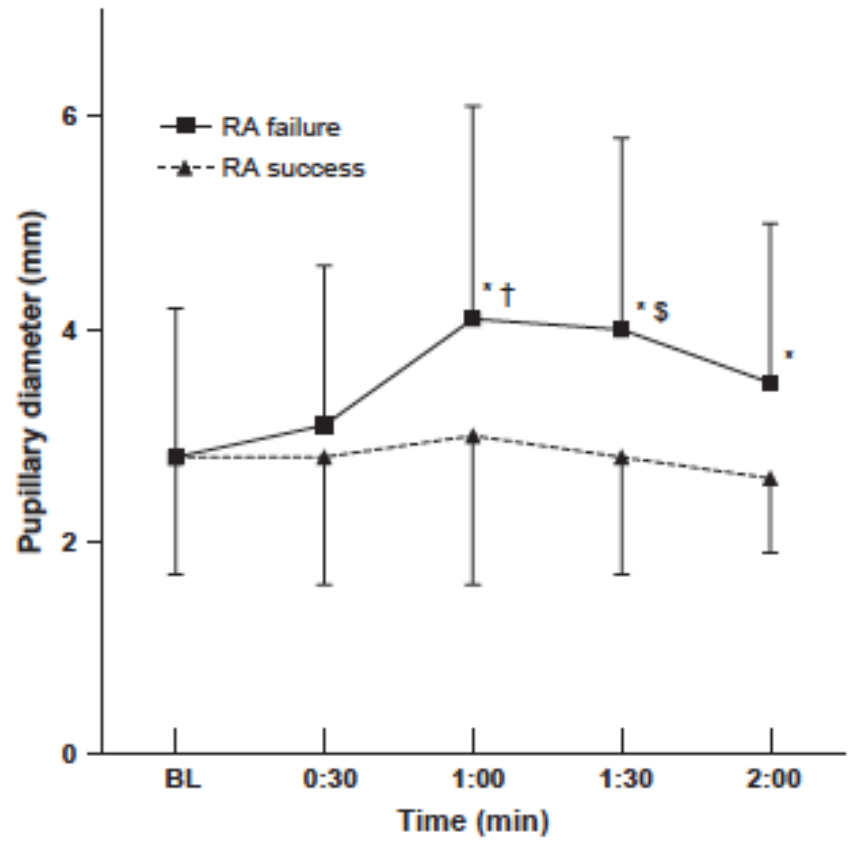
- 24 patients adultes
- Chirurgie distale membre inférieur
- AG + bloc poplité



Time course of pupil diameter changes induced by tetanic stimulation of blocked (white circles) and non-blocked territories of the popliteal sciatic nerve (black squares). Pupil diameters [median (IQR)] are expressed as a percentage of baseline values (B).

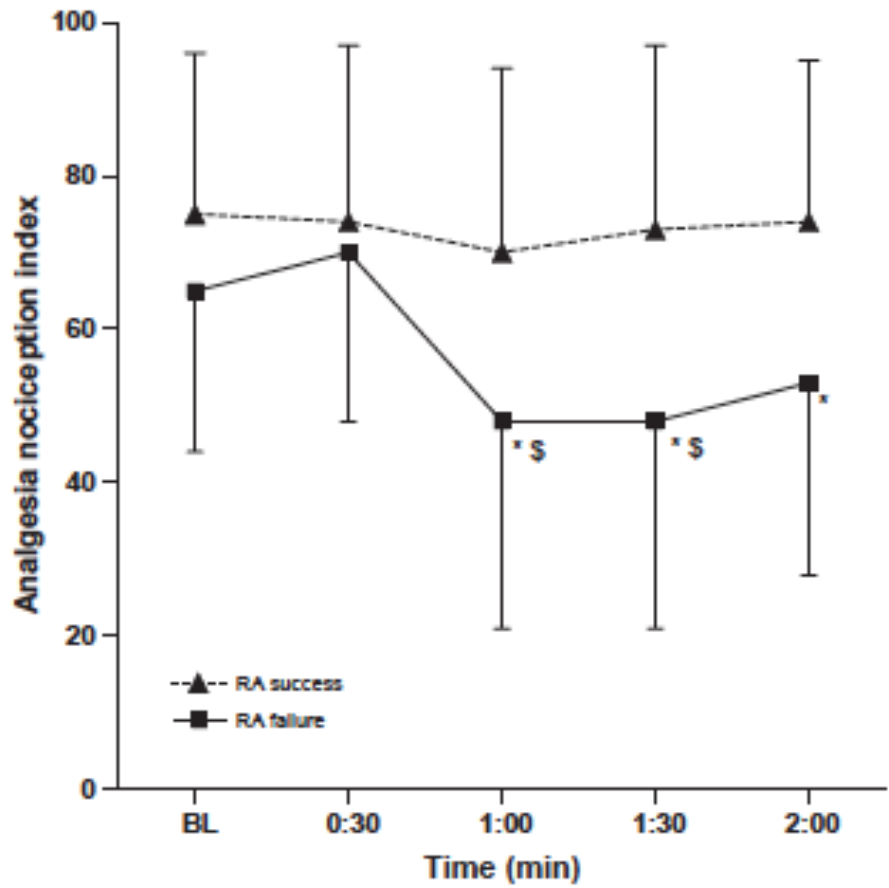
Détection efficacité ALR pédiatrie

- 58 enfants > 2 ans
- AG + AR (rachi ou BNP)
- PDR après incision



Idem avec ANI

- 58 enfants > 2 ans
- AG + AR (rachi ou BNP)
- ANI après incision



Analgesia/Nociception Index (ANI)



Variabilité de la fréquence cardiaque

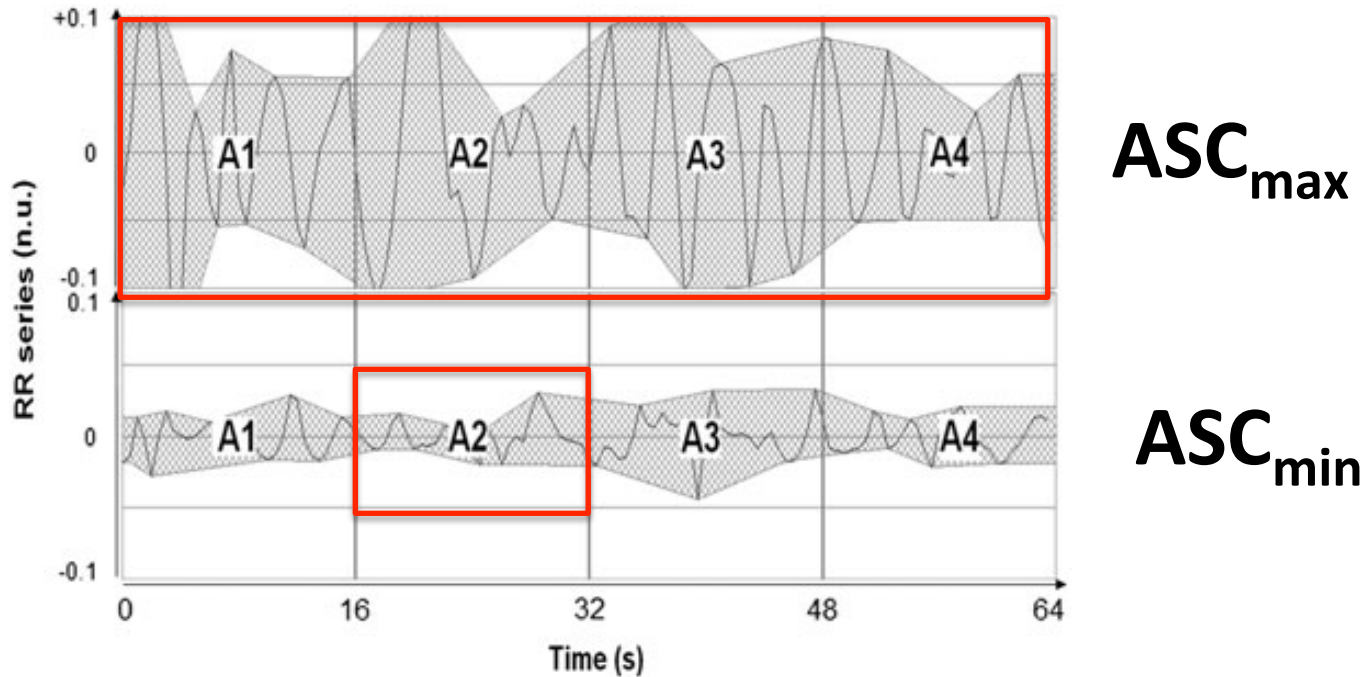
- Arythmie respiratoire sinusale
- Influence respiration sur intervalle RR
- Reflète la BAN

VFC importante = tonus paraΣ prédominant = analgésie



VFC réduite : tonus Σ prédominant = nociception

Principe calcul ANI



$$\text{ANI} = 100 \times (\alpha \times \text{ASC}_{\min} + \beta) / \text{ASC}_{\max}$$

α = Nociception maximale (Σ)
100 = Analgésie maximale (para Σ)

Limites ANI

- Arythmie
- Apnée
- Dysfonction SNA
- Cardiotropes et vasopresseurs
- β -bloquants ?

Détection DPO immédiate

200 patients ASA I-II

Anesthésie générale

- halogénés / rémifentanil (ORL ou chirurgie plastique)
- propofol / rémifentanil (endoscopie ORL)

ANI et ENS arrivée et départ SSPI

Détection DPO immédiate

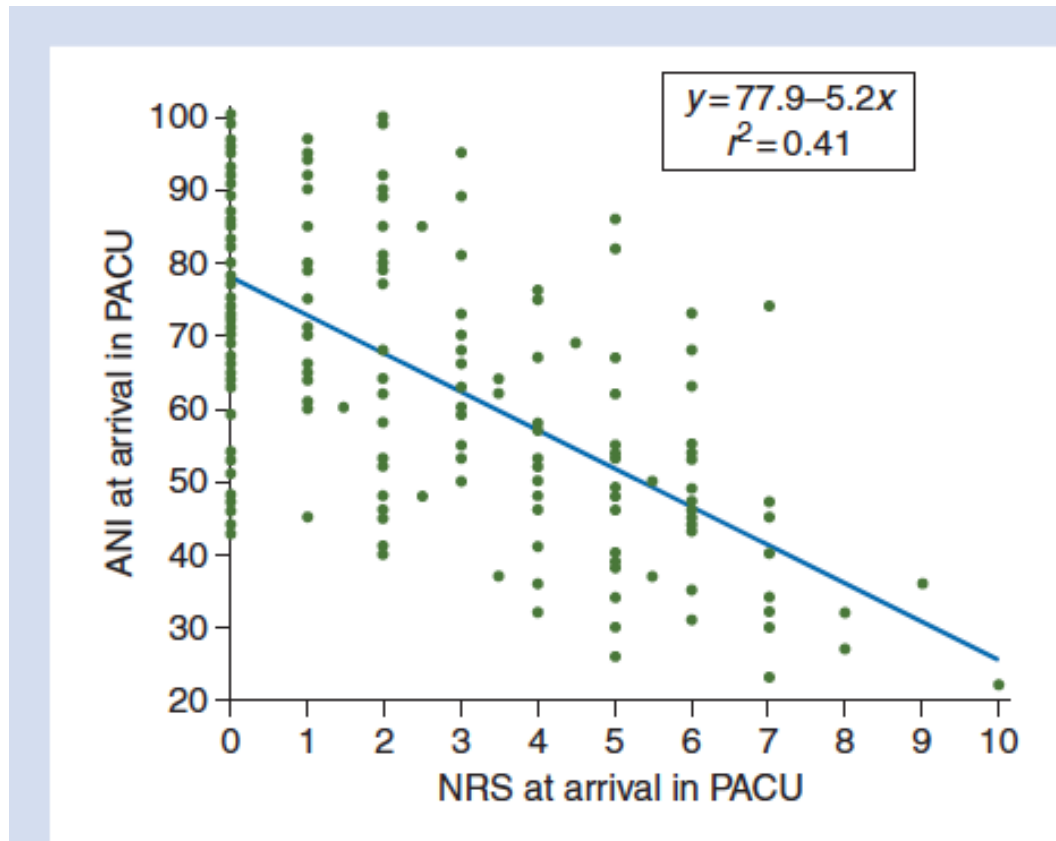
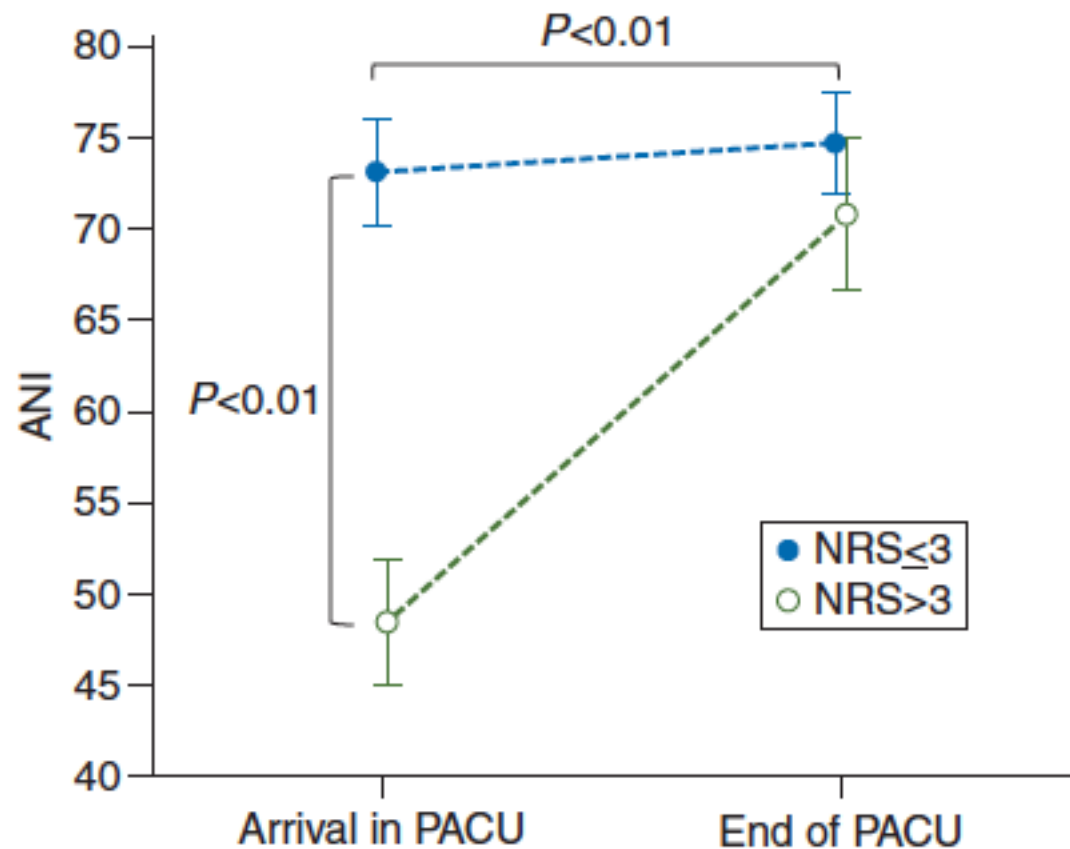


Fig 2 Negative linear relationship between ANI and NRS (linear regression).

Détection DPO immédiate



Détection DPO immédiate

ANI ≤ 57
ENS > 3

Se = 78%

Sp = 80%

VPP = 67%

VPN = 88%

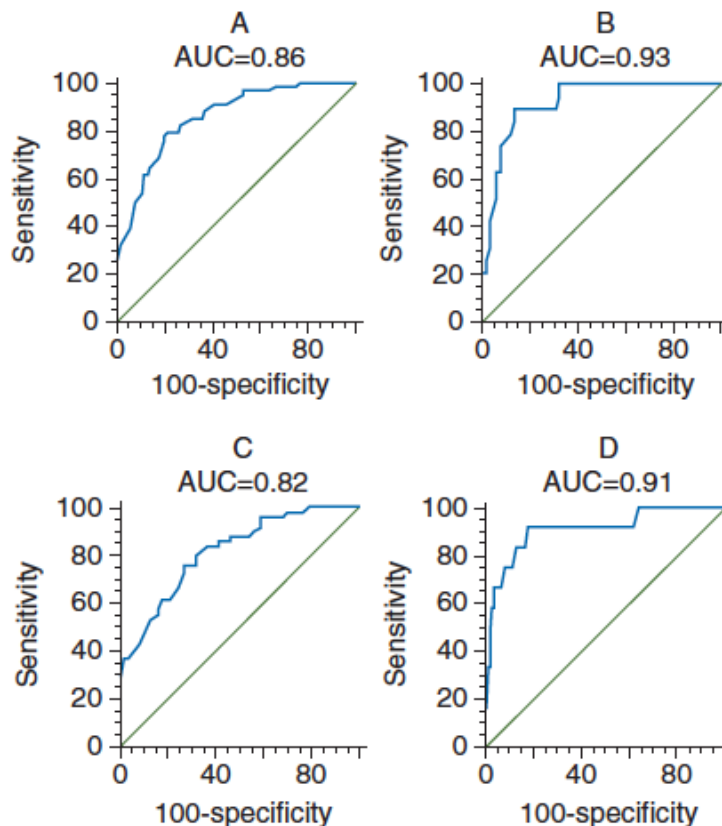


Fig 3 ROC curves. (a) All patients with NRS >3 . (b) Propofol-anaesthetized patients with NRS >3 . (c) Halogenated-anaesthetized patients with NRS >3 . (d) All patients with NRS ≥ 7 .

Prédiction DPO immédiate

200 patients ASA I-III

ORL ou orhtopédie MI

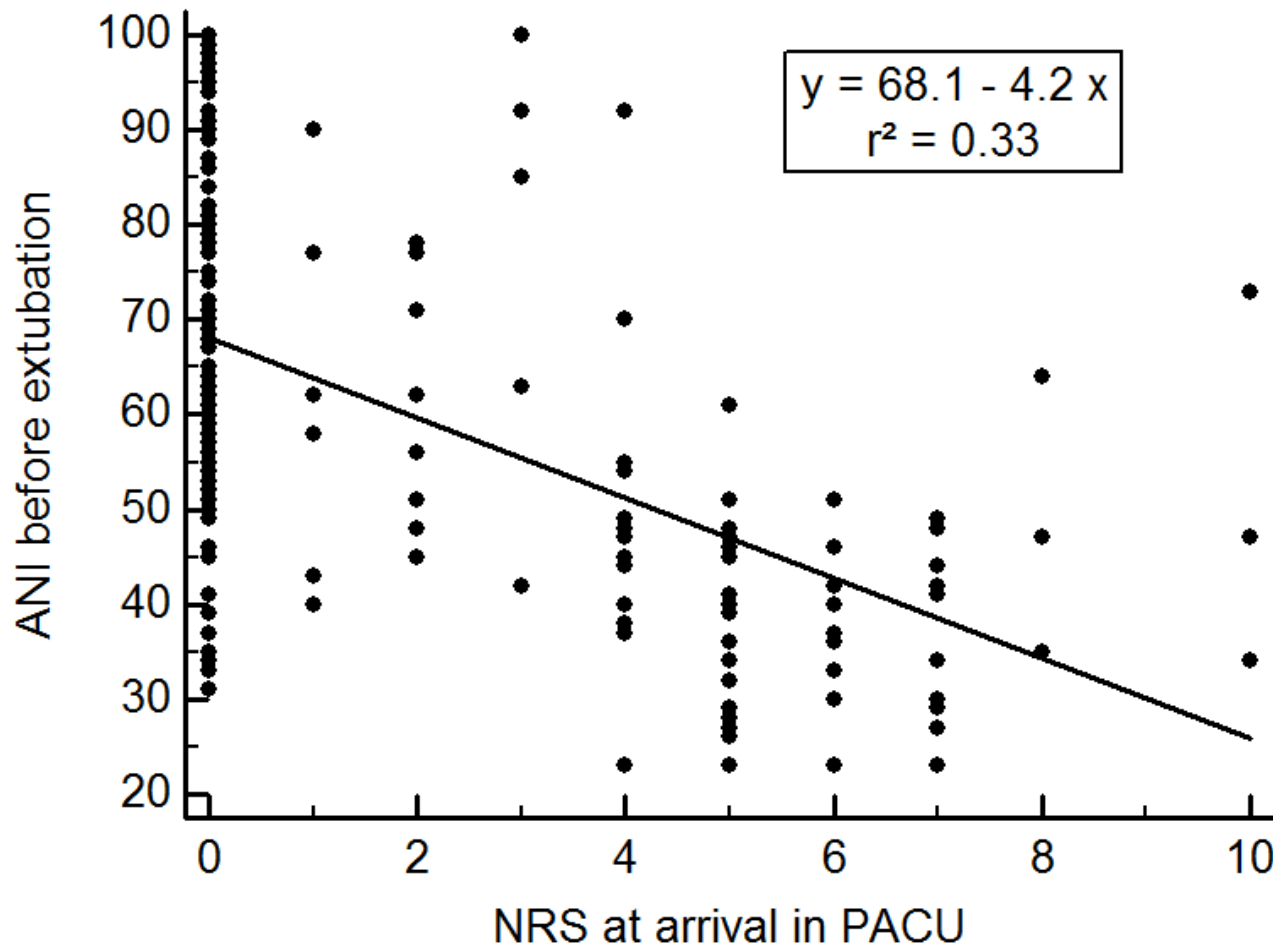
Anesthésie générale :

- Desflurane
- Rémifentanil
- ± cisatracurium

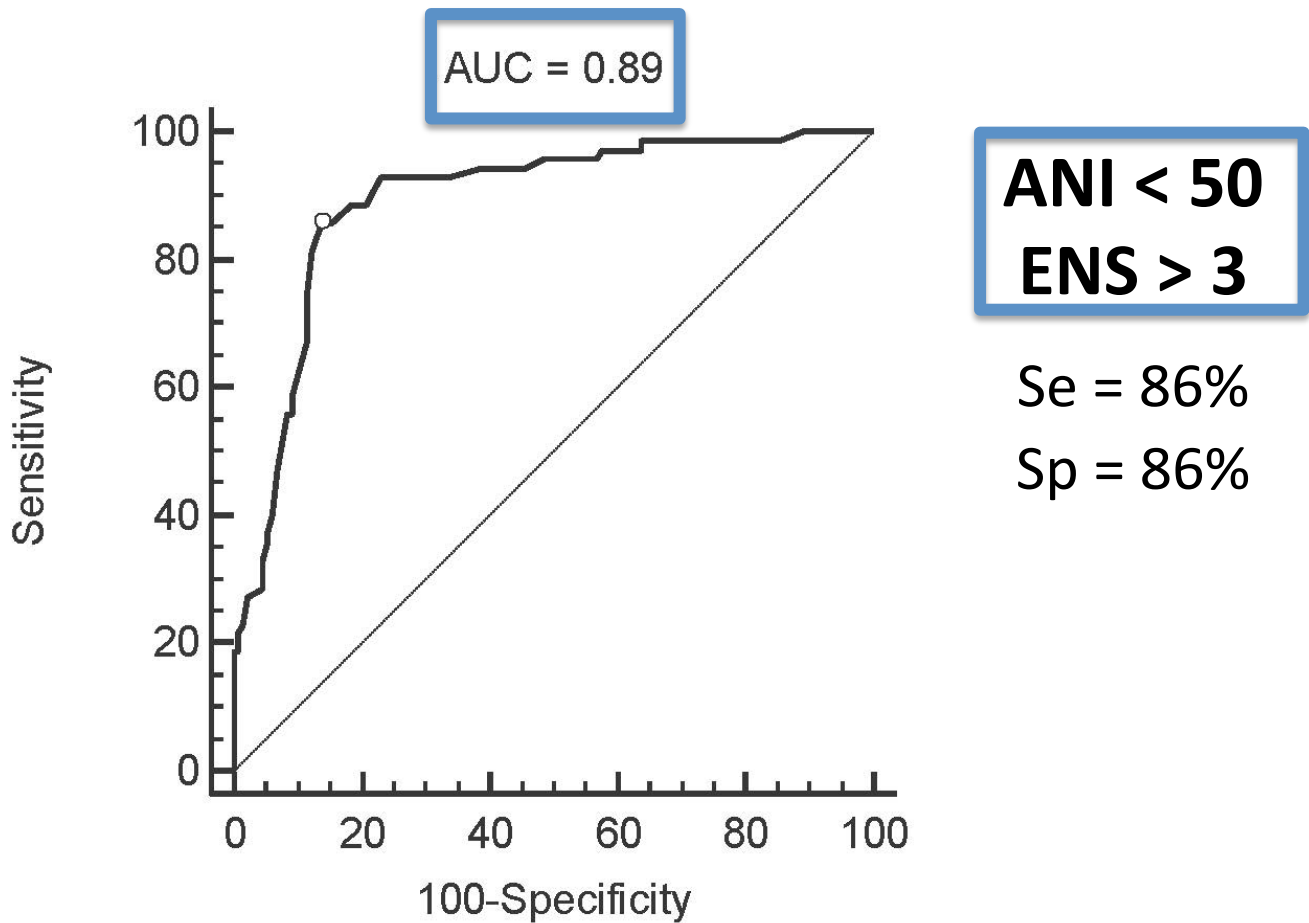
ANI immédiatement avant extubation

ENS arrivée SSPI

Prédiction DPO immédiate



Prédiction DPO immédiate



Variations ANI pendant coelioscopie

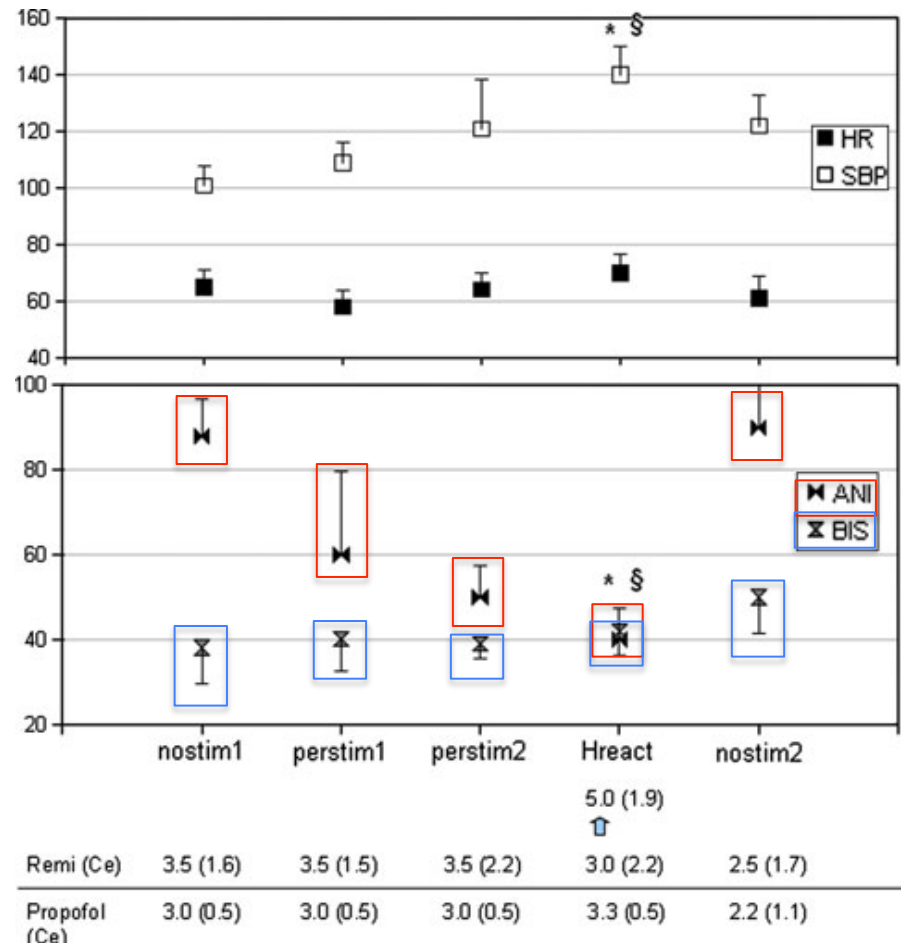
15 patients adultes

Appendicectomie ou cholécystectomie

AIVT

- propofol (BIS 40-60)
- rémifentanil
- cisatracurium

Variations ANI pendant coelioscopie



Effet stimulation nociceptive

25 patients ASA I-II (18-65 ans)

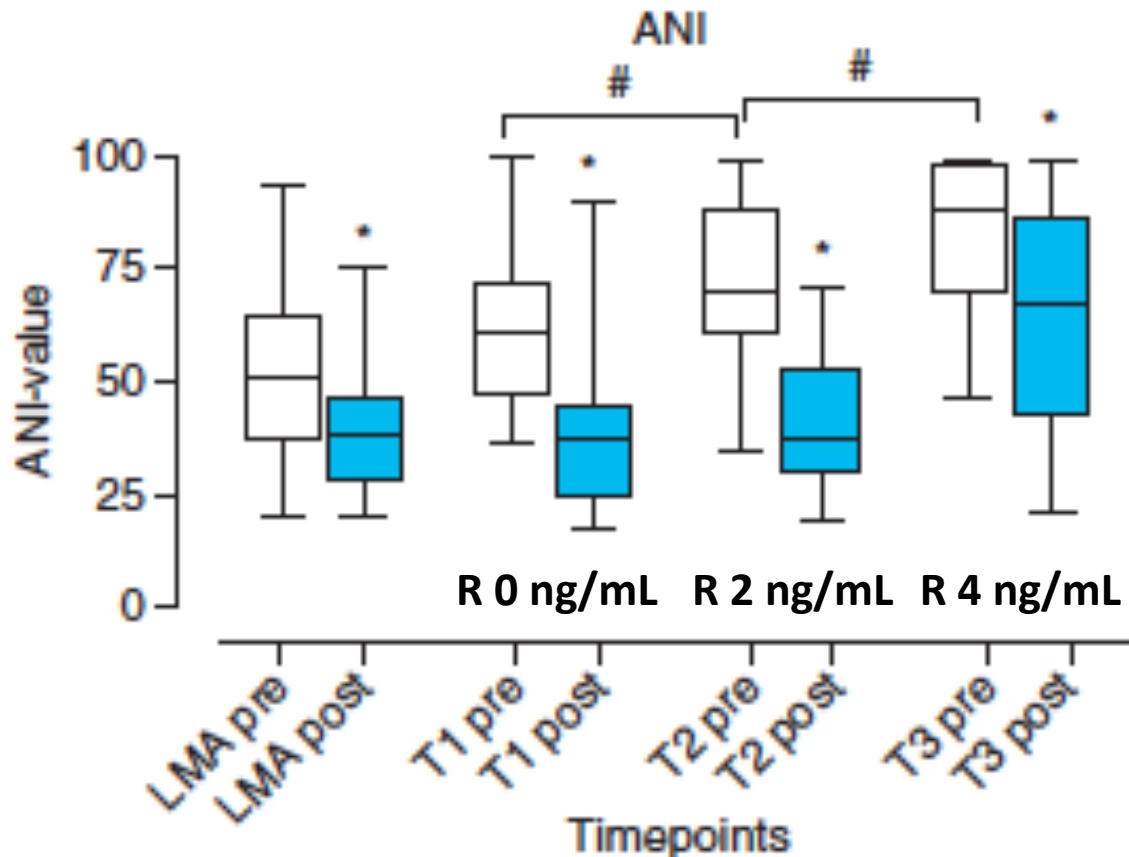
Chirurgie programmée avec ML

AIVT

- propofol (BIS 30-60)
- rémifentanil doses variables

Stimulation tétanique ulnaire (60 mA, 50 Hz, 30 s)

Effet stimulation nociceptive



*P<0.05 vs. prestimulation value

#P<0.05 vs. lower remifentanil concentration

Prédiction réactivité hémodynamique pendant endoscopie ORL

50 patients ASA I-III

Laryngoscopie en suspension avec AIVT :

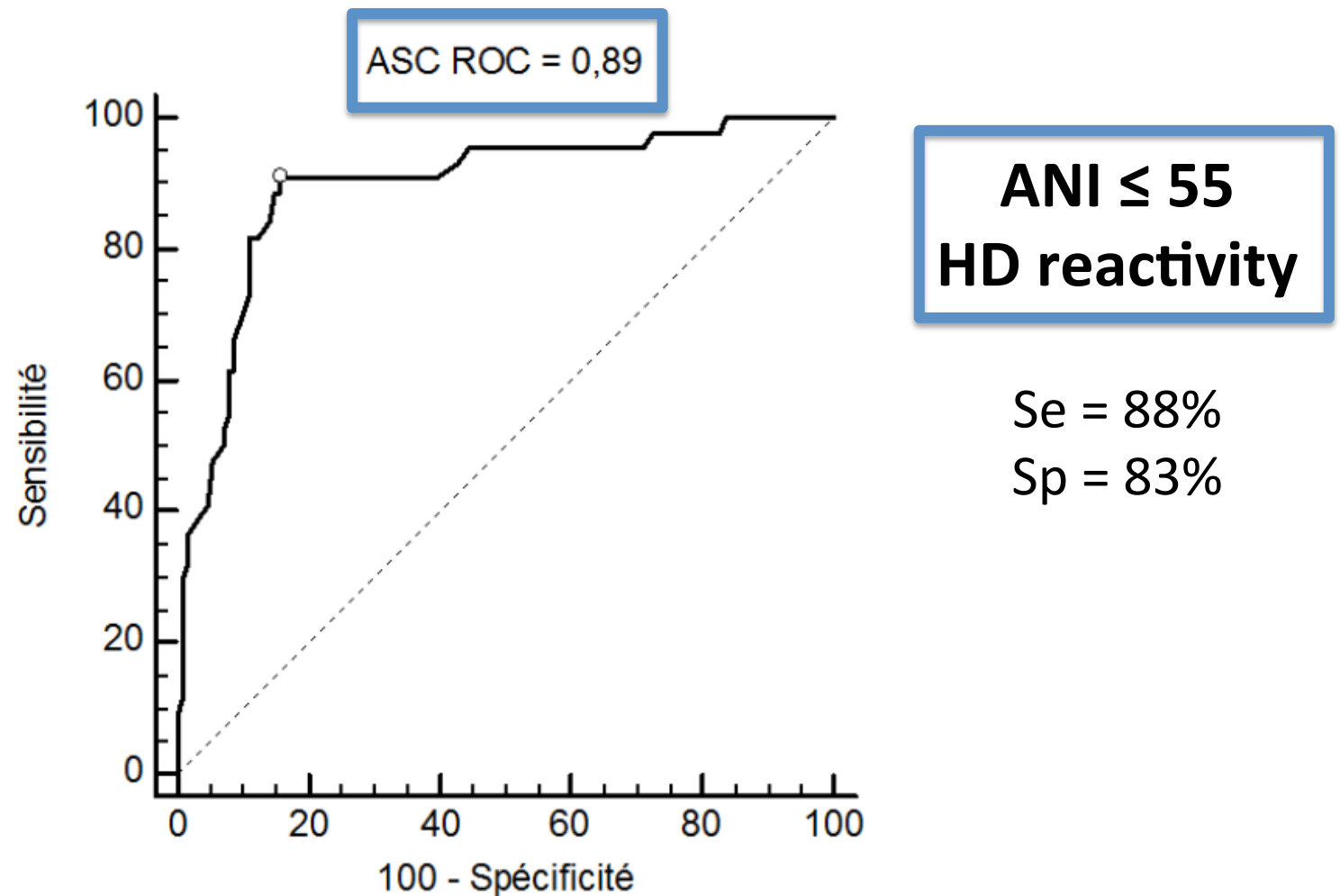
- Propofol (BIS 40-60)
- Rémifentanil 2-4 ng/mL

ANI mesuré :

- T0 = avant procédure
- T1 = 1 min après début
- T2 = pendant procédure
- T3 = ouverture des yeux

Réactivité hémodynamique : ↗ 20% FC ou PAS

Prédiction réactivité hémodynamique pendant endoscopie ORL



Prédiction réactivité hémodynamique pendant AG

128 patients ASA I-III

ORL ou chirurgie orthopédique membre inférieur

Anesthésie générale :

- Desflurane
- Rémifentanil
- \pm cisatracurium

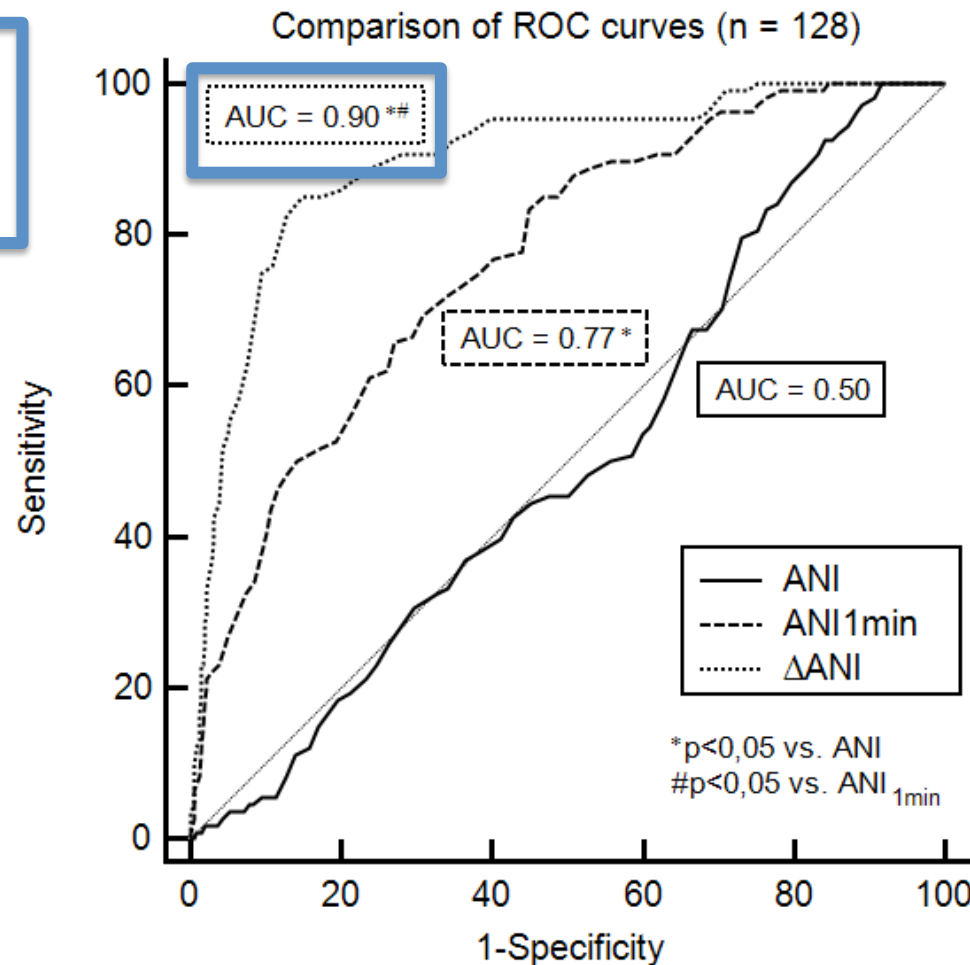
ANI, ANI_{1min} et Δ ANI à T0, T1, T2, T3

Prédiction réactivité hémodynamique pendant AG

$\Delta\text{ANI} \leq -19\%$
Réactivité HD

Se = 85%

Sp = 85%



Étude comparative ?

British Journal of Anaesthesia Page 1 of 6
doi:10.1093/bja/aeu411

BJA

Postoperative pain after laparoscopic cholecystectomy is not reduced by intraoperative analgesia guided by analgesia nociception index (ANI[®]) monitoring: a randomized clinical trial

J. A. Szental*, A. Webb, C. Weeraratne, A. Campbell, H. Sivakumar and S. Leong

Peninsula Health, Hastings Road, Frankston, VIC 3199 Australia

* Corresponding author. E-mail: jszental@gmail.com

Editor's key points

- Immediate postoperative pain is common after laparoscopic cholecystectomy, often requiring rescue analgesia.
- This study used intraoperative heart rate variability as a pain surrogate, to direct analgesia.
- The use of the analgesia nociception index (ANI) to direct intraoperative morphine did not improve postoperative analgesia.
- Further clinical investigation is required to establish the role of the ANI in pain management.

Background. Laparoscopic cholecystectomy frequently results in significant immediate postoperative pain. A new pain monitor, analgesic nociception index (ANI[®]), based on heart rate variability, has recently been approved for intraoperative nociception monitoring. We designed a single-blind, parallel-group, randomized control trial to test the hypothesis that protocol-driven intraoperative analgesia guided by ANI during laparoscopic cholecystectomy would improve titration of intraoperative analgesics leading to decreased postoperative pain.

Methods. One hundred and twenty consecutive adult participants presenting for elective laparoscopic cholecystectomy were recruited. Participants were randomly allocated by sealed envelope to receive intraoperative morphine either guided by ANI via a protocol (intervention group) or guided by the anaesthetist with ANI concealed (control group). All participants received paracetamol, parecoxib, fentanyl at induction, and local anaesthetic to port sites. The primary endpoint was the presence of moderate/severe pain (visual analogue scale ≥ 50 mm) at any of the four time points in the first postoperative hour. Secondary endpoints included postoperative rescue morphine.

Results. Sixty participants were randomized to each group, and all but one drop-out from the intervention group were analysed. The usage of ANI guidance did not result in a decrease in the rate of moderate/severe pain (50.8% vs 45.0%; difference of -5.8%, 95% confidence interval, -23.7% to 12.1%, $P=0.58$), or the use of postoperative rescue analgesia.

Conclusions. This randomized control trial of intraoperative ANI-guided morphine administration in elective laparoscopic cholecystectomy failed to show any advantage over the current standard of care, and demonstrated a high level of postoperative pain, despite the use of multimodal analgesia.

Clinical trial registration. ANZCTR Reference ACTRN12612000953831 (URL: http://www.anzctr.org.au/trial_view.aspx?ID=362949).

Keywords: analgesics, opioid therapeutic use; cholecystectomy, laparoscopic; heart rate; pain measurement/methods; pain, postoperative/drug therapy

Accepted for publication: 7 October 2014

Opiacé
peropératoire
= morphine

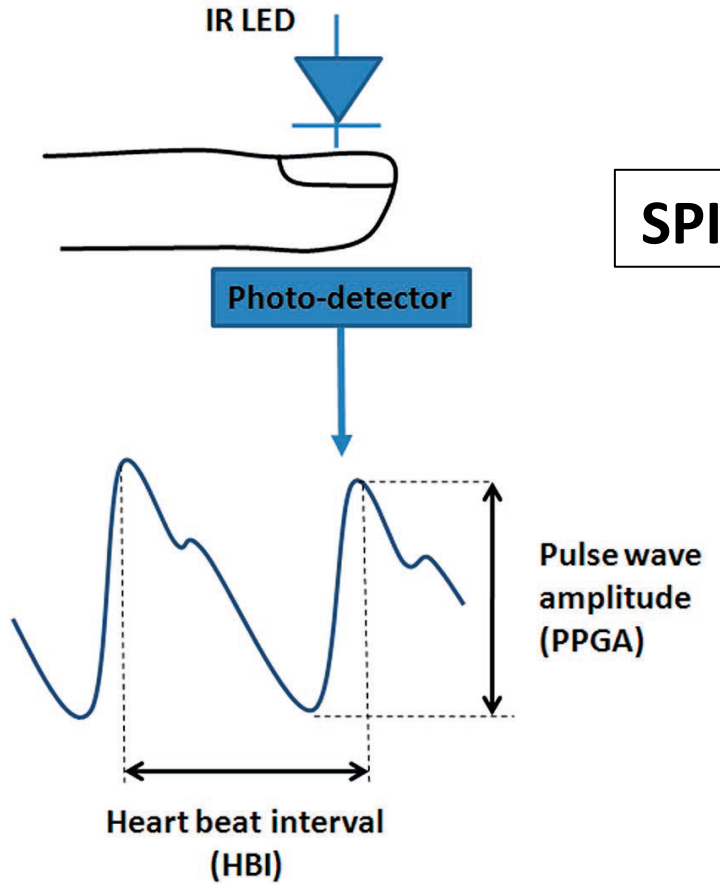
Étape suivante : administration automatisée ?



Surgical Pleth Index (SPI)



Principe calcul SPI



$$\text{SPI} = 100 - (0,7 \times \text{PPGA}_{\text{norm}} - 0,33 \times \text{HBI}_{\text{norm}})$$

0 = bas niveau de stress

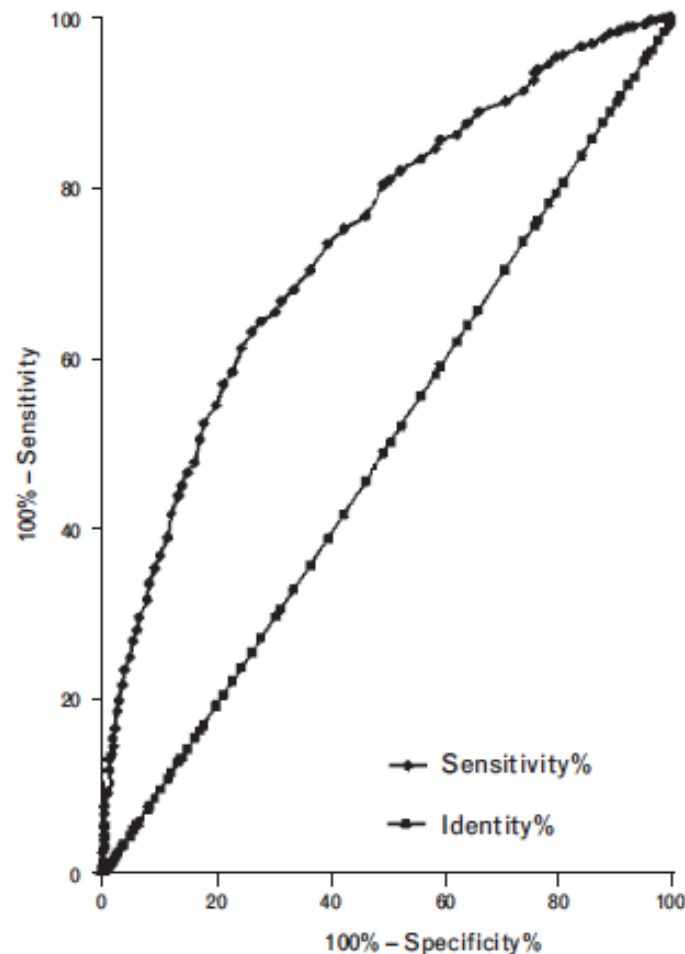
100 = haut niveau de stress

Détection DPO immédiate

100 patients ASA I-III

SPI et NRS en SSPI

SPI \leq 45
ENS \leq 3
Se = 67 %
Sp = 69 %



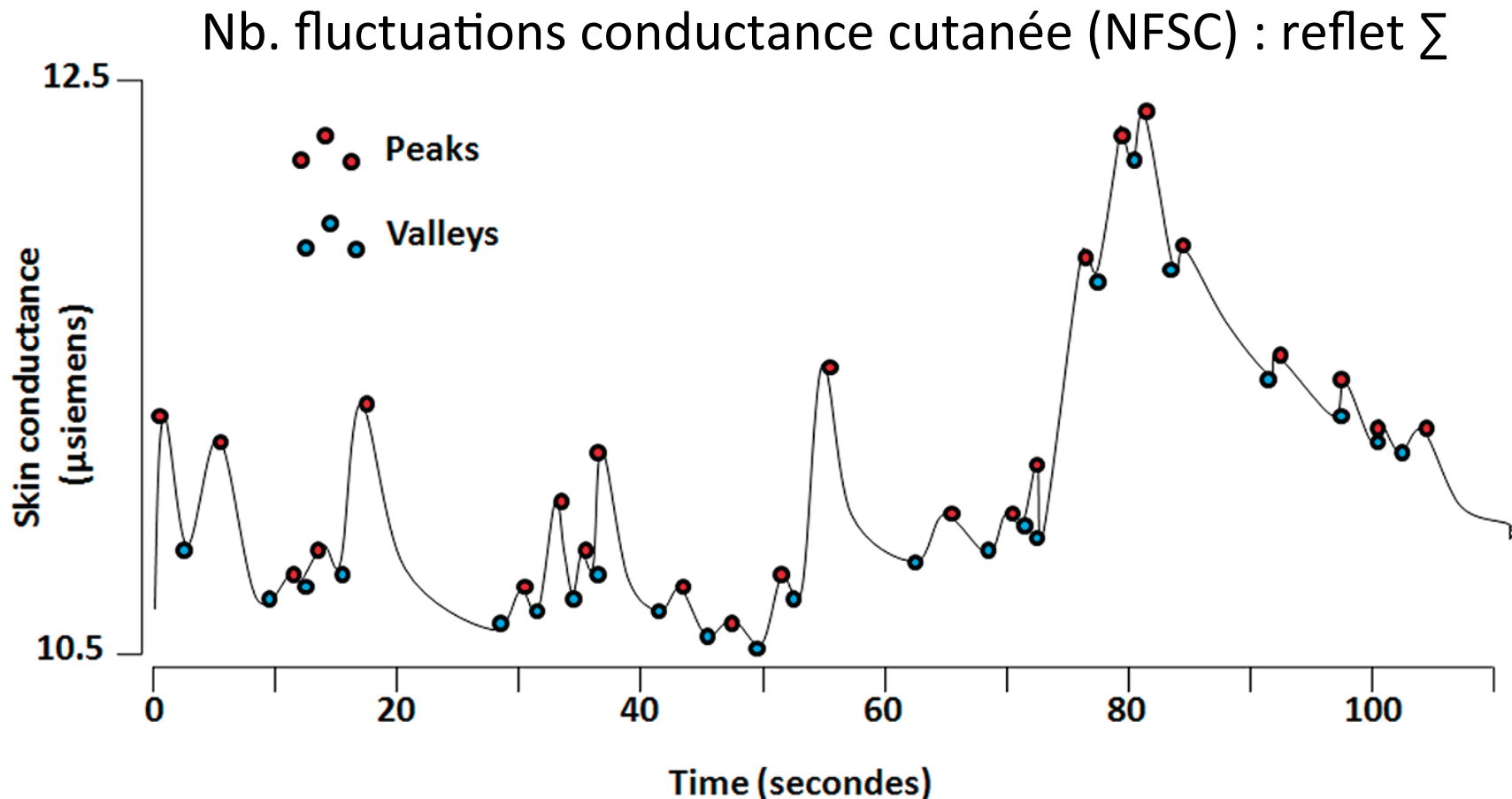
Étude comparative rémifentanil

- 80 patients chir ORL
- AIVOC propofol : BIS 40-60
- AIVOC rémifentanil :
 - contrôle
 - SPI 20-50
-  rémifentanil ($\mu\text{g}/\text{kg}/\text{h}$):
 - SPI = $8,5 \pm 3,8$
 - vs contrôle = $12,3 \pm 5,2$ ($p<0,05$)
- Meilleure stabilité hémodynamique

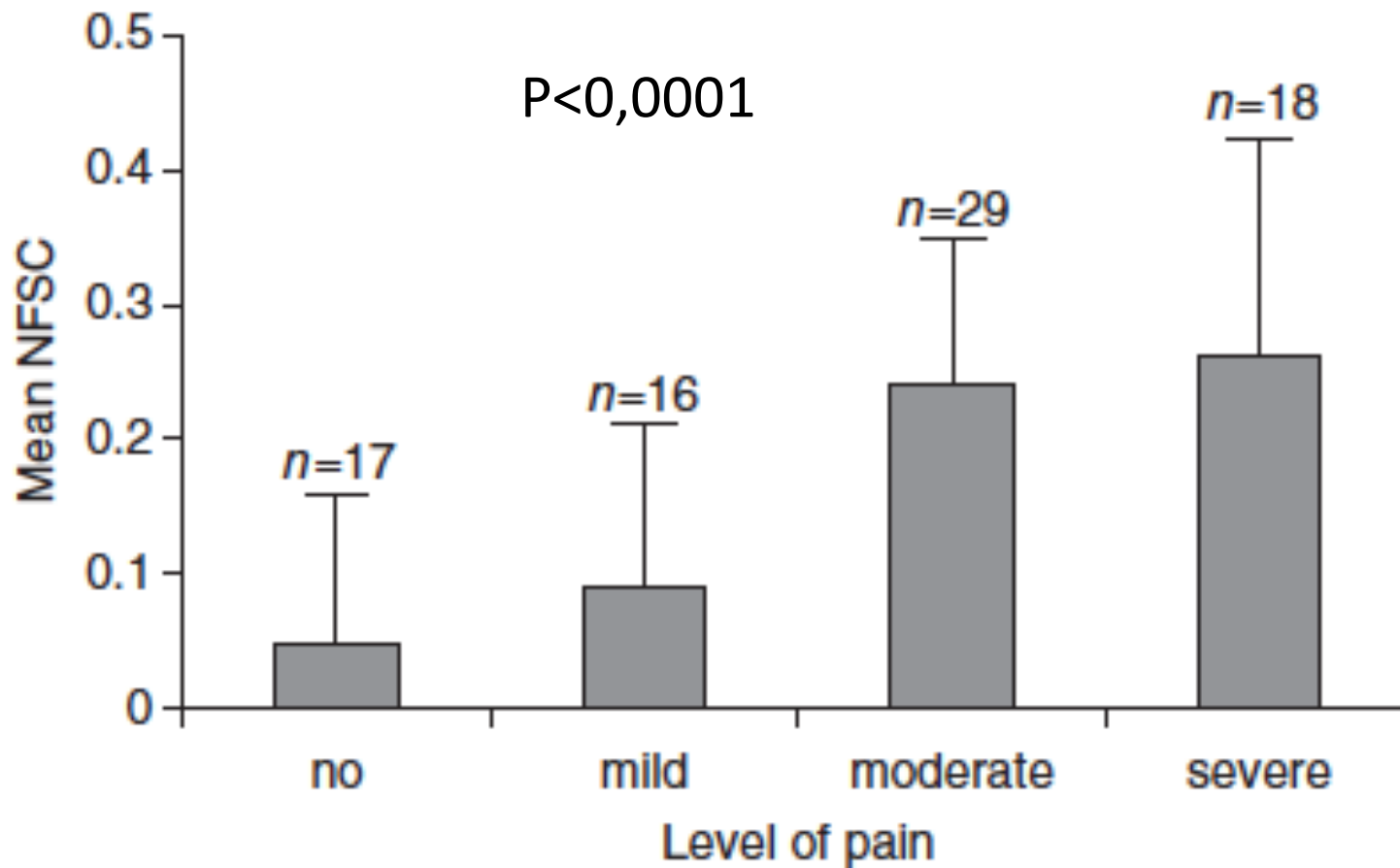
Étude comparative sufentanil

- 94 patients
- Sévoflurane : BIS 40-60
- Sufentanil :
 - contrôle
 - 10 µg si SPI>50
- Pas de différence sufentanil / HD
- Impact agents anesthésiques sur SPI

Conductance cutanée

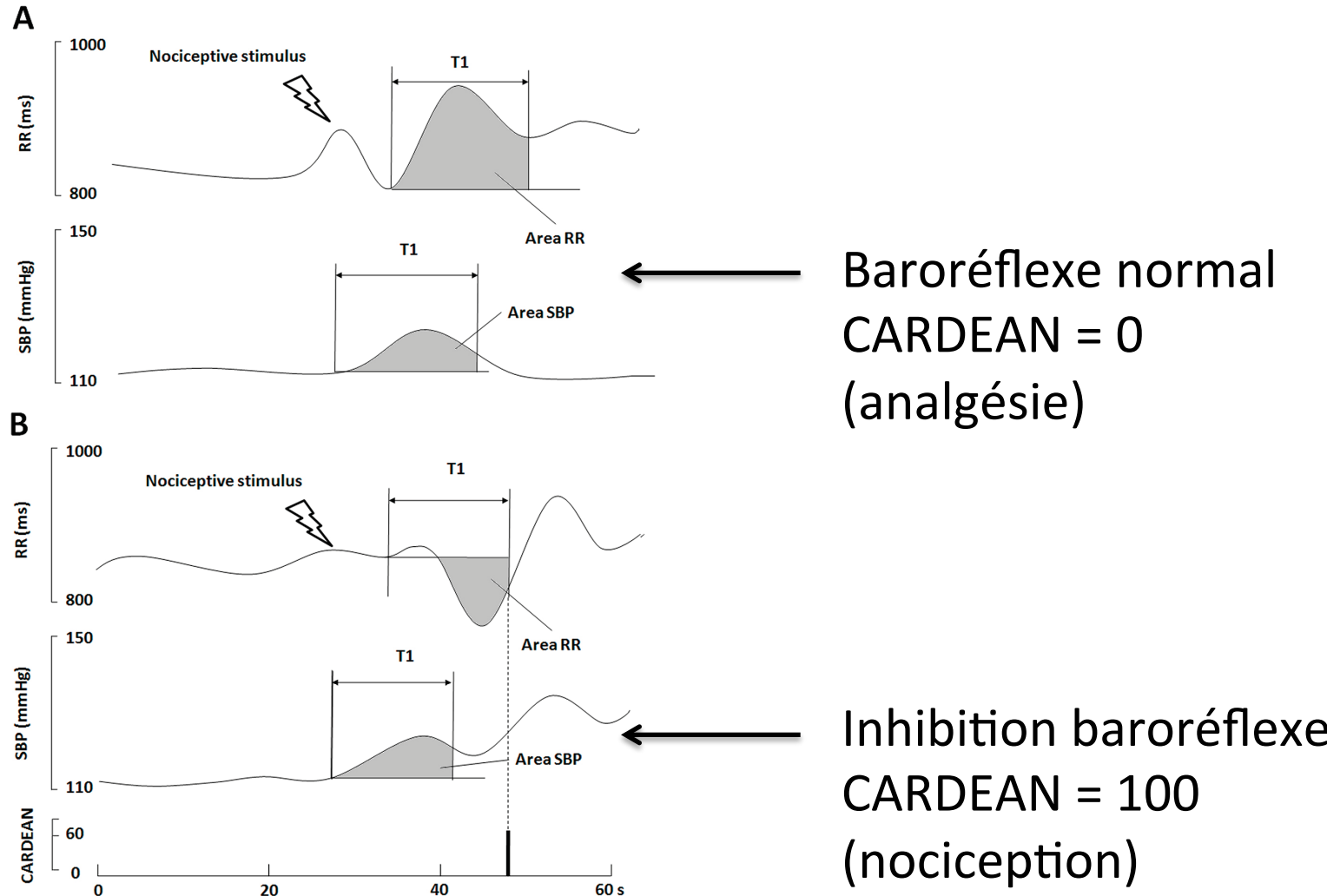


Détection DPO immédiate



CARDEAN

Cardiovascular depth of analgesia



CARDEAN

Journal of Clinical Monitoring and Computing (2007) 21:91–101
DOI: 10.1007/s10877-006-9061-9

J Clin Monit Comput (2012) 26:441–449
DOI 10.1007/s10877-012-9372-y

BEAT-BY-BEAT CARDIOVASCULAR INDEX TO PREDICT UNEXPECTED INTRAOPERATIVE MOVEMENT IN ANESTHETIZED UNPARALYZED PATIENTS: A RETROSPECTIVE ANALYSIS

A. Cividjian, MEng, PhD^{3,4}, J. Y. Martinez, MD, MSc¹, E. Combourg, MD¹, P. Predoux, MD¹, A. M. Beraud, MD¹, Y. Rochette, MD¹, M. Cler, MD¹, L. Bourdon, MD, PhD², J. Escarment, MD¹ and L. Quintin, MD, PhD⁴

A beat-by-beat, on-line, cardiovascular index, CARDEAN, to assess circulatory responses to surgery: a randomized clinical trial during spine surgery

M. Rossi · A. Cividjian · M. C. Fevre · M. E. Oddoux · J. Carcey · C. Halle · M. Frost · M. Gardellin · J. F. Payen · L. Quintin

A Beat-by-Beat Cardiovascular Index, CARDEAN: A Prospective Randomized Assessment of Its Utility for the Reduction of Movement During Colonoscopy

Jean Yves Martinez, MD, MSc, * Pierre François Wey, MD, * Christophe Lions, MD, * Andrei Cividjian, MEng, PhD, † Muriel Rabilloud, MD, PhD, ‡§ Alvine Bissery, MSc, ‡§ Lionel Bourdon, MD, PhD, || Marc Puidupin, MD, * Jacques Escarment, MD, * and Luc Quintin, MD, PhD||

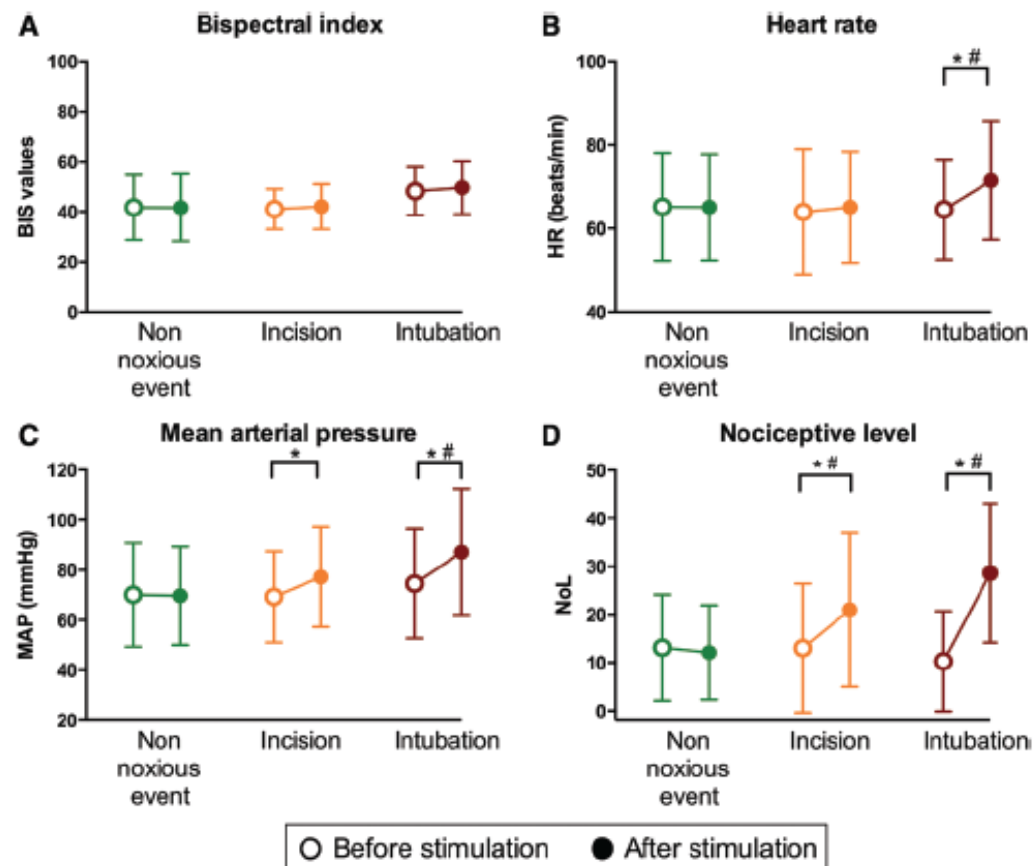
ANESTHESIA & ANALGESIA

March 2010 • Volume 110 • Number 3

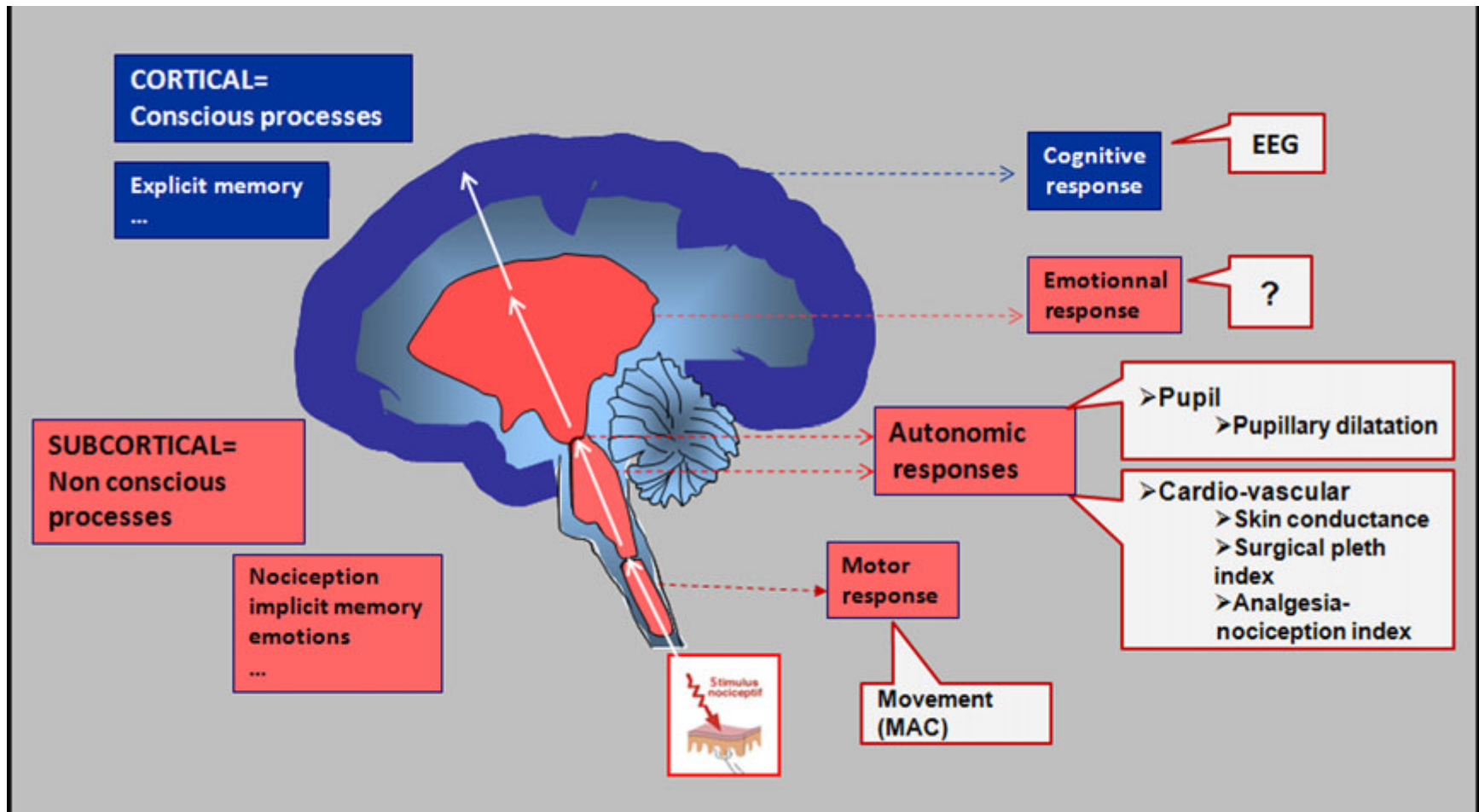
NoL

(Nociception Level)

- Index composite :
 - FC
 - VFC
 - pleth
 - conductance
- 72 patients
 - ASA I-III
 - propofol
 - rémifentanil
- NoL avant/après



Monitorage de l'anesthésie



Conclusion

Monitorage anesthésie	Monitorage narcose	Monitorage analgésie
Pas de moniteur universel	BIS (\pm entropie)	Nombreux moniteurs
Analyse EEG : reflet essentiellement cortical	Données solides Gain essentiellement pour AIVT propofol	Balance sympathovagale Limites à connaître ou à déterminer
Distinguer narcose et analgésie	Gain clinique : quelques minutes	Probablement plus utiles avec opiacés rapides (rémifentanil)
Boucles ?	Devenir ?	Études comparatives